

COMUNE DI MORETTA (CN)

Lavori presso la scuola elementare G. Prat di riconversione funzionale e abbattimento barriere architettoniche



Responsabile del procedimento: geom. Roberto Mina

R.T.P. di progettazione:

Settanta7 studio associato

arch. Daniele Rangone arch. Elena Rionda



ing. Luca Lussorio

geol. Giuseppe Galliano

ing. Luca Ronco ing. Alberto
Brondello



ORDINE DEGLI INGEGNERI
DELLA PROVINCIA DI CUNEO

1264 Dott. Ing. Luca Ronco



ORDINE DEGLI INGEGNERI
DELLA PROVINCIA DI CUNEO

A1653 Dott. Ing. Alberto Brondello

arch. Francesca Cordero



ORDINE DEGLI INGEGNERI
DELLA PROVINCIA DI CUNEO

A1553 Dott. Ing. Luca Lussorio



PROGETTO ESECUTIVO

Data consegna: SETTEMBRE 2017

Collegamento - Relazione sulle fondazioni

0041430003-PE-2-S-018-Collegamento-
Relazione sulle fondazioni



INDICE

1.	<u>PREMESSA</u>	3
2.	<u>NORMATIVE DI RIFERIMENTO</u>	3
3.	<u>SITUAZIONE GEOTECNICA</u>	3
4.	<u>MODELLAZIONE AL CALCOLATORE</u>	4
4.1.	INDIVIDUAZIONE DEL CODICE DI CALCOLO	4
4.2.	GRADO DI AFFIDABILITÀ DEL CODICE	4
4.3.	GIUDIZIO MOTIVATO DI ACCETTABILITÀ DEI RISULTATI	4
5.	<u>VERIFICA A LIQUEFAZIONE DEI TERRENI</u>	5
5.1.	GENERALITÀ SUL CALCOLO DELLA LIQUEFAZIONE DEI TERRENI.....	7
5.1.1.	CALCOLO DELLA DOMANDA DI RESISTENZA A LIQUEFAZIONE CSR.....	8
5.1.2.	CALCOLO DELLA CAPACITÀ DI RESISTENZA A LIQUEFAZIONE DA PROVE IN SITU CRR.....	8
5.1.3.	METODO DELL'EUROCODICE 8 (SPT)	9
5.1.4.	METODO DELL'EUROCODICE 8 (CPT).....	10
5.2.	VERIFICHE	11
6.	<u>VERIFICA CAPACITÀ PORTANTE PLATEA DEL COLLEGAMENTO</u>	13
6.1.	DESCRIZIONE DEI CASI DI CALCOLO E RIASSUNTO DEI RISULTATI.....	13
6.2.	DESCRIZIONE DEL METODO DI CALCOLO.	18
6.3.	DESCRIZIONE DELLA FONDAZIONE.....	19
6.4.	DESCRIZIONE DEL TERRENO.....	19
6.5.	VERIFICHE IN CONDIZIONI DRENATE.	19
6.5.1.	SOLLECITAZIONI AL PIANO DI POSA.	19
6.5.2.	CAPACITÀ PORTANTE.	24
6.5.3.	SCORRIMENTO.	30

Comune di Moretta (CN)

LAVORI PRESSO LA SCUOLA ELEMENTARE "G. PRAT" DI RICONVERSIONE
FUNZIONALE E ABBATTIMENTO BARRIERE ARCHITETTONICHE

SCUOLA ELEMENTARE
G. PRAT





1. PREMESSA

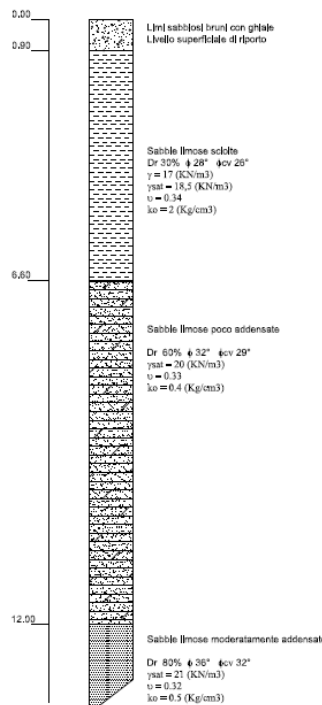
La presente relazione è stata redatta nel rispetto delle indicazioni espresse dal D.M. 14/01/2008 e riguarda le fondazioni del suo collegamento tra la mensa e a scuola elementare G. Prat.

2. NORMATIVE DI RIFERIMENTO

- Legge nr. 1086 del 05/11/1971. Norme per la disciplina delle opere in conglomerato cementizio, normale e precompresso ed a struttura metallica.
- EN 206: Calcestruzzo – Prestazioni, produzione, posa in opera e criteri di conformità
- DM 14/01/2008 - Norme tecniche per le costruzioni
- Circolare 2 febbraio 2009 n.617: Istruzioni per l'applicazione delle "norme per le costruzioni" di cui al DM 14 gennaio 2008

3. SITUAZIONE GEOTECNICA

Con riferimento alla relazione geologia-geotecnica, a cui si rimanda per maggiori dettagli, è stata individuata la seguente stratigrafia:





4. MODELLAZIONE AL CALCOLATORE

I modelli delle strutture sono stati verificati con il programma Dolmen 2012.

4.1. Individuazione del codice di calcolo

Per il calcolo delle sollecitazioni e per la verifica in cemento armato si è fatto ricorso all'elaboratore elettronico utilizzando il seguente programma di calcolo:

DOLMEN WIN (R), versione 12 del 2012 prodotto, distribuito ed assistito dalla CDM DOLMEN srl, con sede in Torino, Via Drovetti 9/F.

Questa procedura e' sviluppata in ambiente Windows, ed e' stata scritta utilizzando i linguaggi Fortran e C. DOLMEN WIN permette l'analisi elastica lineare di strutture tridimensionali con nodi a sei gradi di liberta' utilizzando un solutore ad elementi finiti. Gli elementi considerati sono la trave, con eventuali svincoli interni o rotazione attorno al proprio asse, ed il guscio, sia rettangolare che triangolare, avente comportamento di membrana e di piastra. I carichi possono essere applicati sia ai nodi, come forze o coppie concentrate, sia sulle travi, come forze distribuite, trapezie, concentrate, come coppie e come distorsioni termiche. I vincoli sono forniti tramite le sei costanti di rigidezza elastica.

A supporto del programma e' fornito un ampio manuale d'uso contenente fra l'altro una vasta serie di test di validazione sia su esempi classici di Scienza delle Costruzioni, sia su strutture particolarmente impegnative e reperibili nella bibliografia specializzata.

4.2. Grado di affidabilità del codice

L' affidabilita' del codice di calcolo e' garantita dall'esistenza di un ampia documentazione di supporto, come indicato nel paragrafo precedente. La presenza di un modulo CAD per l'introduzione di dati permette la visualizzazione dettagliata degli elementi introdotti. E' possibile inoltre ottenere rappresentazioni grafiche di deformate e sollecitazioni della struttura. Al termine dell'elaborazione viene inoltre valutata la qualita' della soluzione, in base all'uguaglianza del lavoro esterno e dell'energia di deformazione.

4.3. Giudizio motivato di accettabilità dei risultati

L'analisi critica dei risultati e dei parametri di controllo nonche' il confronto con calcolazioni di massima eseguite manualmente porta ad confermare la validita' dei risultati.



5. Verifica a liquefazione dei terreni

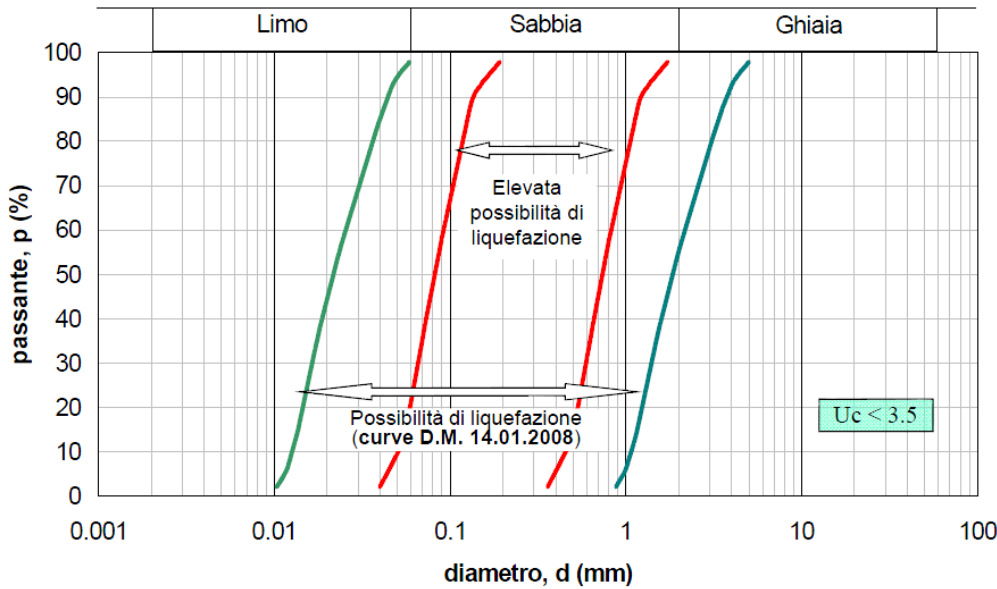
Sulla base dei dati resi disponibili dalle indagini e dalla relazione geotecnica, sarà affrontata la verifica del rischio a liquefazione in riferimento alla normativa vigente.

In base al D.M. 14.01.2008 la liquefazione si può escludere qualora sia verificata almeno una delle seguenti condizioni:

1. Eventi sismici di magnitudo inferiore a 5;
2. Accelerazioni massime al piano campagna in condizioni free-field minori di 0,1 g;
3. Profondità media stagionale della falda superiore ai 15 m dal piano campagna (per p.c. suborizzontale e strutture con fondazioni superficiali);
4. Sabbie pulite caratterizzate da $(N_1)_{60} > 30$ oppure $q_{c1N} > 180$, essendo $(N_1)_{60}$ e q_{c1N} rispettivamente il valore del numero di colpi da SPT e della resistenza di punta da CPT, normalizzati e corretti;
5. Distribuzione granulometrica esterna a determinate fasce critiche.

Casi in cui si può escludere la liquefazione

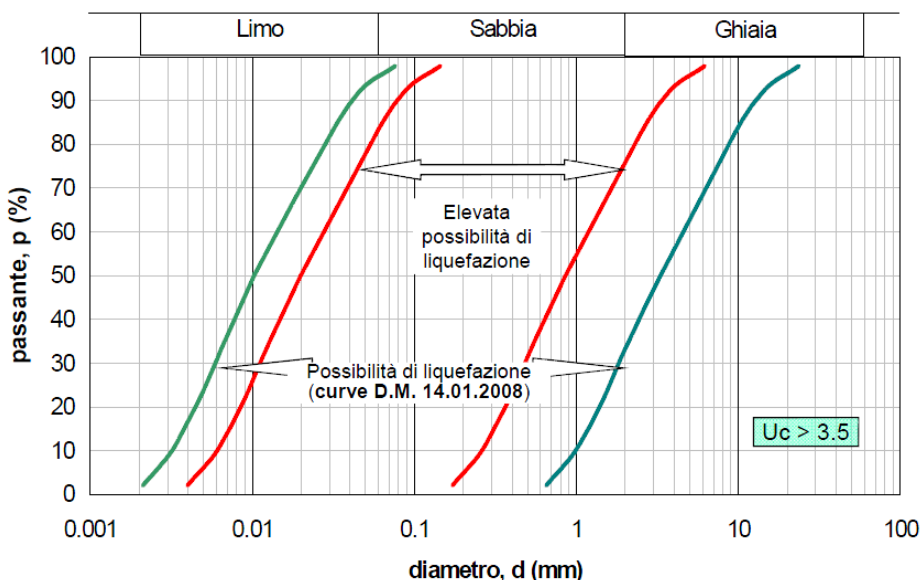
Fasce critiche (coefficiente di uniformità $U_c < 3.5$)





Casi in cui si può escludere la liquefazione

Fasce critiche (coefficiente di uniformità $U_c > 3.5$)



In base ai dati disponibili non è possibile escludere il fenomeno della liquefazione, in quanto non ci troviamo in nessuno dei casi precedenti, e pertanto si procederà alla verifica.

Ai fini delle verifiche alla liquefazione sono stati individuati nella relazione geotecnica i seguenti parametri di riferimento di seguito riportati.

- Valori di Nspt e N60 delle unità litologiche distinte

Unità litologica (prof. m)	Nspt	N60
I - da 0.00 a 6.60 m	4	5
II - da 6.60 m a 9.90 m	13	14
II da 9.90 a 17.40 m	35	38

- Diametro corrispondente al 50% di passante al setaccio (campione C1 0.1 mm - campione C2 0.2 mm)
- I dati dell'attrezzatura utilizzata per le prove



Dynamic <ul style="list-style-type: none"> - Strumenti <ul style="list-style-type: none"> - BORRO - DIN 4 - DPM (DL030 10) (Medium) - DPM (DL030 16) (Medium) - DPA - DPL (light) - DPSH (Dynamic Probing Super Heavy) - SCPT (Standard Cone Penetration Test) - SPT (Standard Penetration Test) - PROVE SPT IN FORO - EMILIA (20) - EMILIA (30) - DL-20 (60°) - DL-20 (90°) - DL-30 (90°) - DL-30 (60°) - DPH - DPSH TG 63-200 PAGANI - SCPT TG 63-200 PAGANI - DPM (DL 030 SUNDA) - DMP 3020 PAGANI CAMPIONATORE RAYMOND FORO PENNY 30 	<table border="1" style="width: 100%; border-collapse: collapse;"> <thead> <tr> <th style="text-align: left;">TIPO</th> <th style="text-align: right;">SCPT TG 63-200 PAGANI</th> </tr> </thead> <tbody> <tr> <td>Passo</td> <td style="text-align: right;">30 [cm]</td> </tr> <tr> <td>Peso maglio</td> <td style="text-align: right;">73 [Kg]</td> </tr> <tr> <td>Volata</td> <td style="text-align: right;">75 [cm]</td> </tr> <tr> <td>Area punta</td> <td style="text-align: right;">20,43 [cm²]</td> </tr> <tr> <td>Lunghezza aste</td> <td style="text-align: right;">1 [m]</td> </tr> <tr> <td>Peso Aste</td> <td style="text-align: right;">6,31 [Kg]</td> </tr> <tr> <td>Massa Passiva</td> <td style="text-align: right;">0,63 [Kg]</td> </tr> <tr> <td>Angolo di apertura punta conica</td> <td style="text-align: right;">90 [°]</td> </tr> <tr> <td>Prof. giunzione prima asta</td> <td style="text-align: right;">0,4 [m]</td> </tr> <tr> <td>Energia specifica per colpo</td> <td style="text-align: right;">8,932941 [kg/cm²]</td> </tr> <tr> <td>Rivestimento</td> <td style="text-align: right;">No</td> </tr> <tr> <td>Coeff. di correlaz. con N_{spt}</td> <td style="text-align: right;">1,153</td> </tr> </tbody> </table> <p style="margin-top: 10px;">NSPT=CE^aN; N1,60=N60°CN^bCR^cCB^dCS</p> <table border="1" style="width: 100%; border-collapse: collapse;"> <tr> <td style="padding: 2px;">Energia (CE), (CN) Tensione, (CR) Lunghezza aste, (CB) Diametro foro, (CS)</td> </tr> <tr> <td style="padding: 2px; text-align: center;">CE=ER/60</td> <td style="padding: 2px; text-align: center;">1.11</td> <td style="padding: 2px; text-align: center;">CR</td> <td style="padding: 2px; text-align: center;">1.13</td> <td style="padding: 2px; text-align: center;">CB</td> <td style="padding: 2px; text-align: center;">1.15</td> <td style="padding: 2px; text-align: center;">CS</td> <td style="padding: 2px; text-align: center;">1.17</td> <td style="padding: 2px; text-align: center;">Picon</td> </tr> </table>	TIPO	SCPT TG 63-200 PAGANI	Passo	30 [cm]	Peso maglio	73 [Kg]	Volata	75 [cm]	Area punta	20,43 [cm ²]	Lunghezza aste	1 [m]	Peso Aste	6,31 [Kg]	Massa Passiva	0,63 [Kg]	Angolo di apertura punta conica	90 [°]	Prof. giunzione prima asta	0,4 [m]	Energia specifica per colpo	8,932941 [kg/cm ²]	Rivestimento	No	Coeff. di correlaz. con N _{spt}	1,153	Energia (CE), (CN) Tensione, (CR) Lunghezza aste, (CB) Diametro foro, (CS)	CE=ER/60	1.11	CR	1.13	CB	1.15	CS	1.17	Picon
TIPO	SCPT TG 63-200 PAGANI																																				
Passo	30 [cm]																																				
Peso maglio	73 [Kg]																																				
Volata	75 [cm]																																				
Area punta	20,43 [cm ²]																																				
Lunghezza aste	1 [m]																																				
Peso Aste	6,31 [Kg]																																				
Massa Passiva	0,63 [Kg]																																				
Angolo di apertura punta conica	90 [°]																																				
Prof. giunzione prima asta	0,4 [m]																																				
Energia specifica per colpo	8,932941 [kg/cm ²]																																				
Rivestimento	No																																				
Coeff. di correlaz. con N _{spt}	1,153																																				
Energia (CE), (CN) Tensione, (CR) Lunghezza aste, (CB) Diametro foro, (CS)																																					
CE=ER/60	1.11	CR	1.13	CB	1.15	CS	1.17	Picon																													

Penetrometro TG63- 200 Pagani

Per la verifica si è fatto riferimento alle prove a disposizione ed ai metodi forniti dall'eurocodice 8.

5.1. Generalità sul calcolo della Liquefazione dei Terreni

Vengono riportati di seguito i principali metodi per il calcolo della suscettibilità a liquefazione dei terreni sabbiosi saturi. Tali metodi fanno parte dei metodi semplificati che si basano su risultati di prove in situ quali sono le prove penetrometriche statiche, dinamiche o le prove sismiche a rifrazione. Il fattore di sicurezza, F_s nella verifica di resistenza alla liquefazione di un livello di terreno è per definizione il rapporto tra la capacità di resistenza alla liquefazione, espressa in termini di rapporto di resistenza ciclica CRR (Cyclic Resistance Ratio), e la domanda di resistenza alla liquefazione, espressa in termini di rapporto di tensione ciclica CSR.

Si ha dunque:

$$F_s = \frac{CRR}{CSR}$$

La stima del fattore di sicurezza F_s passa attraverso la valutazione delle due quantità CSR e CRR.



5.1.1. Calcolo della domanda di resistenza a liquefazione CSR.

La variabile CSR può essere stimata attraverso l'equazione semi empirica proposta da Seed e Idriss (1971):

$$CSR = \frac{\tau_{AV}}{\sigma_v} = 0.65 \cdot \left(\frac{a_{max}}{g} \right) \cdot \left(\frac{\sigma_v}{\sigma'_v} \right) \cdot r_d \cdot \frac{1}{MSF}$$

dove:

a_{max} : accelerazione orizzontale di picco prodotta dal terremoto in superficie;

g : accelerazione di gravità;

σ_v : tensione verticale litostatica totale;

σ'_v : tensione verticale litostatica efficace;

r_d : coefficiente di riduzione delle tensioni;

MSF : coefficiente correttivo funzione della magnitudo del sisma.

L'equazione utilizzata per il calcolo di r_d viene di seguito riportata:

$$r_d = 1 - 0.00765 \cdot z \quad z \leq 9.15 \text{ m}$$

$$r_d = 1.174 - 0.0267 \cdot z \quad 9.15 \leq z \leq 23 \text{ m}$$

$$r_d = 0.774 - 0.008 \cdot z \quad 23.0 \leq z \leq 30 \text{ m}$$

$$r_d = 0.5 \quad z \geq 30 \text{ m}$$

con :

z : profondità dal piano campagna espressa in [m]

L'equazione utilizzata per il calcolo di MSF viene di seguito riportata:

$$MSF = \left(\frac{M}{7.5} \right)^{-3.3} \quad \text{per } M \leq 7.5$$

$$MSF = \frac{10^{2.24}}{M^{2.56}} \quad \text{per } M > 7.5$$

5.1.2. Calcolo della capacità di resistenza a liquefazione da prove in situ CRR.

Le prove in situ utilizzate per il calcolo di CRR sono:

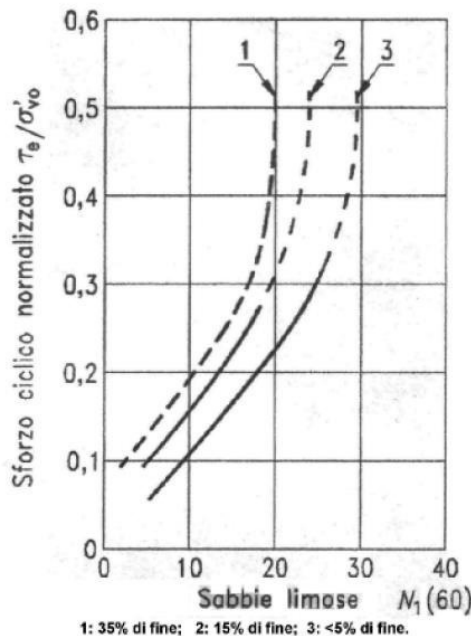
- prove penetrometriche dinamiche (Standard Penetration Test);
- prove penetrometriche statiche (CPT);
- misure di velocità delle onde di taglio (Vs).

Riportiamo di seguito i due metodi utilizzati per il calcolo della resistenza CRR, tratti dall'eurocodice.



5.1.3. Metodo dell'Eurocodice 8 (SPT)

La valutazione della capacità di resistenza alla liquefazione (**CRR**) da prove *penetrometriche dinamiche* viene stimata con la seguente correlazione:



$$C_N = \sqrt{\frac{1}{\sigma'_v}} \leq 2.0 \quad : \text{normalizzazione rispetto alla pressione di confinamento};$$

σ'_v : pressione verticale efficace espressa in $[\text{kg}/\text{cm}^2]$;

C_E : normalizzazione rispetto ad un valore del rapporto di energia ER/60;

$N_{SPT} = 0.75 \cdot N_{SPT}$: riduzione del 25% per profondità minori di 3 m;

$$(N_1)_{60} = C_N \cdot C_E \cdot N_{SPT}$$

N_{SPT} : numero di colpi della prova penetrometrica standard;

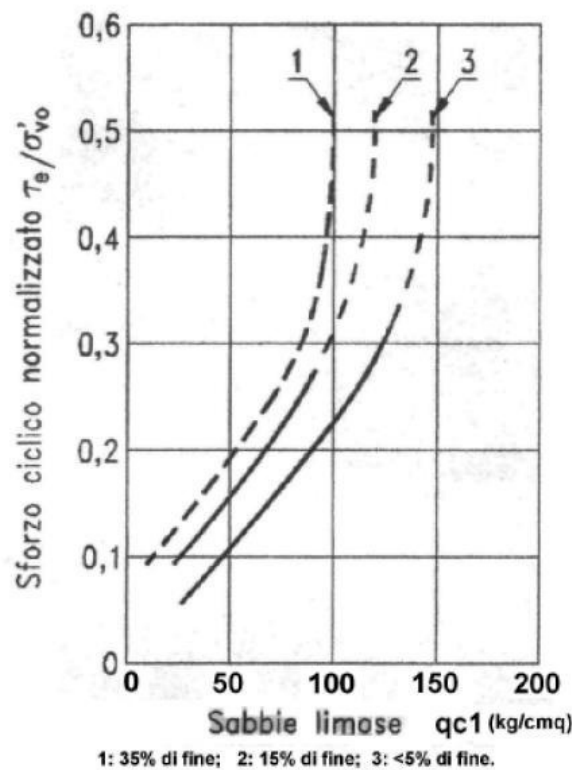
Il metodo si basa sulla determinazione del fattore di sicurezza $F_s = \frac{CRR}{CSR}$. Quest'ultimo è indicativo della

propensione o meno del terreno a liquefare. Il deposito sabbioso saturo è potenzialmente liquefacibile se risulta $F_s \leq 1.0$.



5.1.4. Metodo dell'Eurocodice 8 (CPT)

La valutazione della capacità di resistenza alla liquefazione (CRR) da prove penetrometriche statiche (CPT) viene stimata con la seguente correlazione:



$$C_N = \sqrt{\frac{1}{\sigma'_v}} \leq 2.0 \quad : \text{normalizzazione rispetto alla pressione di confinamento};$$

σ'_v : pressione verticale efficace espressa in [kg/cm²];

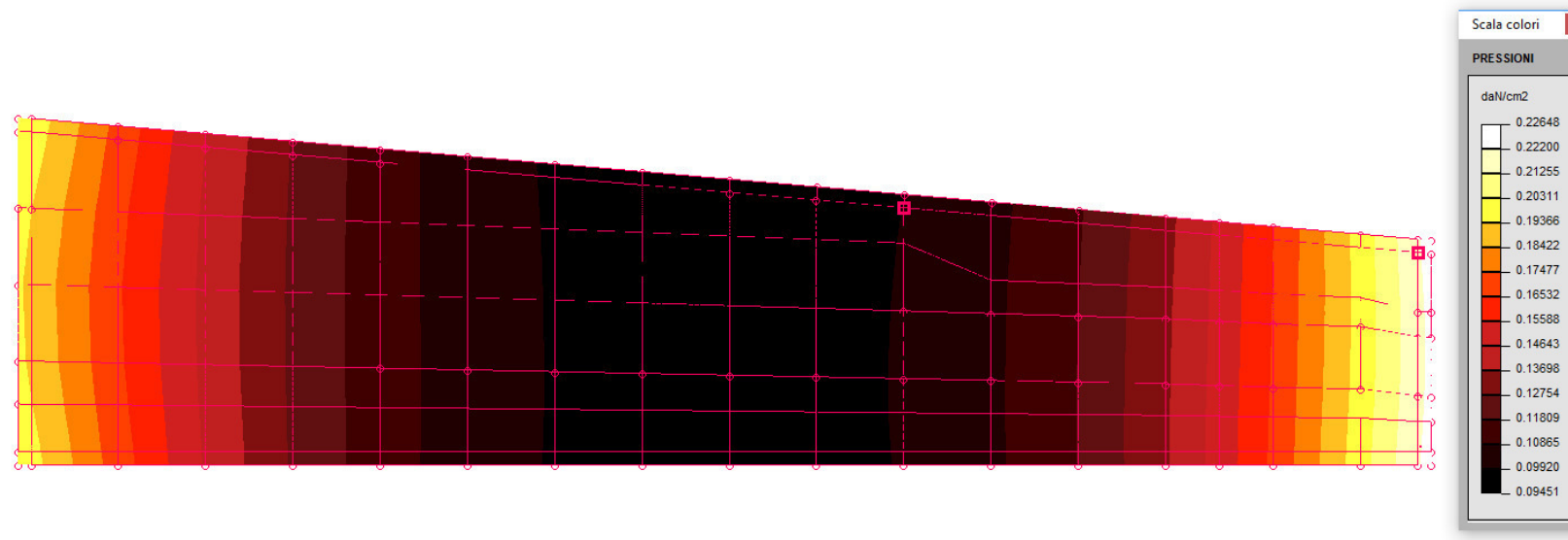
$$q_{c1} = C_N \cdot q_c$$

q_c : resistenza alla punta misurata espressa in [kg/cm²];

Il metodo si basa sulla determinazione del fattore di sicurezza $F_s = \frac{CRR}{CSR}$. Quest'ultimo è indicativo della propensione o meno del terreno a liquefare. Il deposito sabbioso saturo è potenzialmente liquefacibile se risulta $F_s \leq 1.0$.

5.2. Verifiche

La pressione massima sul terreno risulta pari a 0.22 daN/cmq



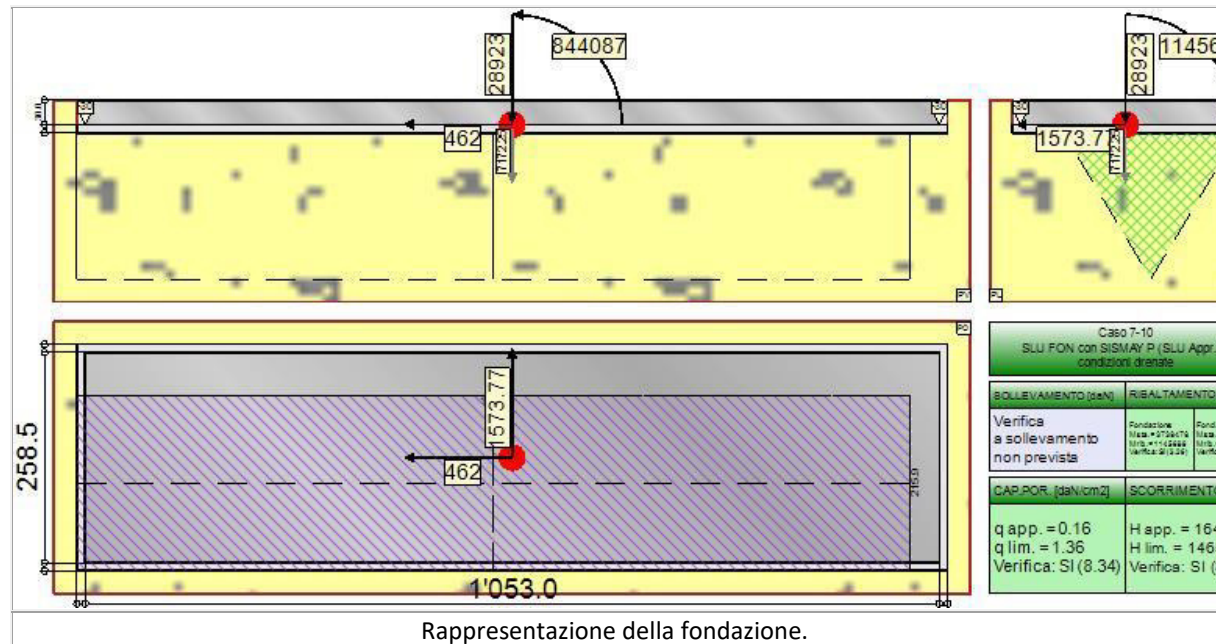
La verifica a liquefazione è superata per entrambi i metodi di calcolo considerati.

q=	22000 [N/m ²]
B=	1.5 [m]
L=	21 [m]
z0=	0 [m]
ysup=	14000 [N/m ³]
z fald=	5 [m]
yH2O=	10000 [N/m ³]
σ sup =	0 [N/m ²]
σ'sup =	0
qN=	22000 [N/m ²]
amax=	2.2328 [m/s ²]
M=	6
g=	10 [m/s ²]
q sIm	255 [m]
pa=	98308 [Pa]
MSF=	2.0883

i	pot. [m]	z sup [m]	z [m]	γ [N/m ³]	u0 [N/m ²]	zN [m]	x [m]	y [m]	r [m]	k1	k2	$\Delta\sigma/q$	σv [N/m ²]	σv0 [N/m ²]	σf [N/m ²]	σ'f [N/m ²]	rd	CSR/MSF	CN	qc Mpa	qc1 daN/cm ²	CRR euro 8	Fs	CE	NSPT	N1(60)	CRR	Fs
1	0.2	0	0.1	17000	0	0.1	0.75	10.5	10.53	0.1313	1.4379	0.9990	21978	1700	23678	23678	0.999	0.069	2.000	15.800	316	0.500	7.200	1.110	4	9 0.130	1.872	
2	0.2	0.2	0.3	17000	0	0.3	0.75	10.5	10.53	0.3458	1.1893	0.9773	21500	5100	26600	26600	0.998	0.069	1.922	15.800	304	0.500	7.211	1.110	4	9 0.130	1.875	
3	0.2	0.4	0.5	17000	0	0.5	0.75	10.5	10.54	0.4632	0.9811	0.9195	20229	8500	28729	28729	0.996	0.069	1.850	3.800	70	0.200	2.889	1.110	4	8 0.130	1.878	
4	0.2	0.6	0.7	17000	0	0.7	0.75	10.5	10.55	0.5012	0.8175	0.8395	18469	11900	30369	30369	0.995	0.069	1.799	1.980	36	0.150	2.170	1.110	4	8 0.130	1.881	
5	0.2	0.8	0.9	17000	0	0.9	0.75	10.5	10.57	0.4948	0.6917	0.7554	16618	15300	31918	31918	0.993	0.069	1.755	2.270	40	0.150	2.173	1.110	4	8 0.130	1.884	
6	0.2	1	1.1	17000	0	1.1	0.75	10.5	10.58	0.4691	0.5947	0.6772	14899	18700	33599	33599	0.992	0.069	1.711	2.660	45	0.150	2.177	1.110	4	8 0.130	1.887	
7	0.2	1.2	1.3	17000	0	1.3	0.75	10.5	10.61	0.4371	0.5189	0.6086	13390	22100	35490	35490	0.990	0.069	1.664	1.990	33	0.150	2.180	1.110	4	7 0.130	1.889	
8	0.2	1.4	1.5	17000	0	1.5	0.75	10.5	10.63	0.4049	0.4586	0.5497	12094	25500	37594	37594	0.989	0.069	1.617	1.694	27	0.100	1.456	1.110	4	7 0.130	1.892	
9	0.2	1.6	1.7	17000	0	1.7	0.75	10.5	10.66	0.3747	0.4098	0.4995	10986	28900	39888	39888	0.987	0.069	1.570	2.283	36	0.150	2.187	1.110	4	7 0.130	1.895	
10	0.2	1.8	1.9	17000	0	1.9	0.75	10.5	10.70	0.3475	0.3697	0.4566	10045	32300	42345	42345	0.985	0.068	1.524	2.577	39	0.150	2.190	1.110	4	7 0.130	1.898	
11	0.2	2	2.1	17000	0	2.1	0.75	10.5	10.73	0.3233	0.3361	0.4198	9235	35700	44935	44935	0.984	0.068	1.479	2.577	38	0.150	2.194	1.110	4	7 0.130	1.901	
12	0.2	2.2	2.3	17000	0	2.3	0.75	10.5	10.78	0.3018	0.3077	0.3880	8536	39100	47636	47636	0.982	0.068	1.437	2.983	43	0.150	2.197	1.110	4	6 0.130	1.904	
13	0.2	2.4	2.5	17000	0	2.5	0.75	10.5	10.82	0.2827	0.2833	0.3603	7928	42500	50428	50428	0.981	0.068	1.396	3.375	47	0.150	2.201	1.110	4	6 0.130	1.907	
14	0.2	2.6	2.7	17000	0	2.7	0.75	10.5	10.87	0.2658	0.2622	0.3361	7395	45900	53295	53295	0.979	0.068	1.358	3.767	51	0.200	2.939	1.110	4	6 0.130	1.910	
15	0.2	2.8	2.9	17000	0	2.9	0.75	10.5	10.92	0.2507	0.2438	0.3148	6926	49300	56226	56226	0.978	0.068	1.322	3.277	43	0.150	2.207	1.110	4	6 0.130	1.913	
16	0.2	3	3.1	17000	0	3.1	0.75	10.5	10.97	0.2373	0.2275	0.2959	6509	52700	59209	59209	0.976	0.068	1.289	3.179	41	0.150	2.211	1.110	4	6 0.130	1.916	
17	0.2	3.2	3.3	17000	0	3.3	0.75	10.5	11.03	0.2251	0.2130	0.2789	6137	56100	62237	62237	0.975	0.068	1.257	2.898	36	0.150	2.214	1.110	4	6 0.130	1.919	
18	0.2	3.4	3.5	17000	0	3.5	0.75	10.5	11.09	0.2142	0.2001	0.2638	5803	59500	65303	65303	0.973	0.068	1.227	2.310	28	0.100	1.479	1.110	4	5 0.130	1.922	
19	0.2	3.6	3.7	17000	0	3.7	0.75	10.5	11.16	0.2043	0.1885	0.2500	5501	62900	68401	68401	0.972	0.068	1.199	1.819	22	0.100	1.481	1.110	4	5 0.130	1.925	
20	0.2	3.8	3.9	17000	0	3.9	0.75	10.5	11.23	0.1953	0.1780	0.2376	5227	66300	71527	71527	0.970	0.067	1.172	2.310	27	0.100	1.483	1.110	4	5 0.130	1.928	
21	0.2	4	4.1	17000	0	4.1	0.75	10.5	11.30	0.1870	0.1684	0.2263	4978	69700	74678	74678	0.969	0.067	1.147	1.427	16	0.100	1.486	1.110	4	5 0.130	1.931	
22	0.2	4.2	4.3	17000	0	4.3	0.75	10.5	11.37	0.1794	0.1597	0.2159	4750	73100	77850	77850	0.967	0.067	1.124	1.735	19	0.100	1.488	1.110	4	5 0.090	1.339	
23	0.2	4.4	4.5	17000	0	4.5	0.75	10.5	11.45	0.1725	0.1517	0.2064	4540	76500	81040	81040	0.966	0.067	1.101	2.421	27	0.100	1.490	1.110	4	5 0.090	1.341	
24	0.2	4.6	4.7	17000	0	4.7	0.75	10.5	11.53	0.1660	0.1443	0.1976	4346	79900	84246	84246	0.964	0.067	1.080	1.931	21	0.100	1.493	1.110	4	5 0.090	1.343	
25	0.2	4.8	4.9	17000	0	4.9	0.75	10.5	11.61	0.1600	0.1375	0.1894	4167	83300	87467	87467	0.963	0.067	1.060	0.670	7	0.090	1.345	1.110	4	5 0.090	1.345	
26	0.2	5	5.1	17000	1000	5.1	0.75	10.5	11.70	0.1544	0.1312	0.1819	4001	86700	89701	89701	0.961	0.068	1.047	0.964	10	0.100	1.481	1.110	4	5 0.090	1.333	
27	0.2	5.2	5.3	17000	3000	5.3	0.75	10.5	11.79	0.1492	0.1254	0.1748	3846	90100	93946	93946	0.959	0.069	1.040	4.788	50	0.150	2.178	1.110	4	5 0.090	1.307	
28	0.2	5.4	5.5	17000	5000	5.5	0.75	10.5	11.88	0.1443	0.1200	0.1682	3701	93500	97201	97201	0.958	0.070	1.033	6.033	62	0.200	2.850	1.110	4	5 0.090	1.282	
29	0.2	5.6	5.7	17000	7000	5.7	0.75	10.5	11.97	0.1397	0.1149	0.1621	3566	96900	100466	93466	0.956	0.071	1.026	7.436	76	0.250	3.499	1.110	4	5 0.090	1.260	
30	0.2	5.8	5.9	17000	9000	5.9	0.75	10.5	12.07	0.1354	0.1102	0.1563	3439	103000	103739	94739	0.955	0.073	1.019	4.704	48	0.150	2.064	1.110	4	5 0.090	1.239	
31	0.2	6	6.1	17000	11000	6.1	0.75	10.5	12.17	0.1313	0.1057	0.1509	3320	103700	107020	96020	0.953	0.074	1.012	2.154	22	0.100	1.354	1.110	4	4 0.090	1.209	
32	0.2	6.2	6.3	17000	13000	6.3	0.75	10.5	12.27	0.1274	0.1015	0.1458	3207	107100	110307	97307	0.952	0.075	1.005	3.135	32	0.150	2.000	1.110	4	4 0.090	1.200	
33	0.2	6.4	6.5	17000	15000	6.5	0.75	10.5	12.37	0.1238	0.0971	0.1409	3101	110500	113601	98601	0.950	0.076	0.999	3.625	36	0.150	1.971	1.110	4	4 0.090	1.183	
34	0.2	6.6	6.7	18000	33000	6.8	0.75	10.5	12.48	0.1203	0.0939	0.1364	3000	114000	100000	9949	0.977	0.992	3.233	32	0.150	1.944	1.110	13	14 0.200	2.593		
35	0.2	6.8	6.9	18000	50000	6.9	0.75	10.5	12.59	0.1170	0.0904	0.1320	2905	117600	120505	101505	0.947	0.078	0.984	0.991	10	0.090	1.152	1.110	13	14 0.200	2.559	
36	0.2	7	7.1	18000	21000	7.1	0.75	10.5	12.70	0.1138	0.0871	0.1279	2814	121200	124014	103014	0.946	0.079	0.977	1.579	15	0.100						



6. Verifica capacità portante platea del collegamento



6.1. Descrizione dei Casi di calcolo e riassunto dei risultati.

Segue il riassunto dei Casi di calcolo analizzati. I dettagli di ciascun Caso (sollecitazioni, verifiche, ecc.) sono specificati nei paragrafi successivi.

Indici e nomi dei casi di carico			Elenco delle verifiche eseguite per ciascun caso					Sisma
Caso	Nome	Sestetti	Ver. dren.	Ver. non dren.	Ver. equ.	Ver. upl.	Coef. sism.	
1	SLU (SLU Appr.2)	1-1	Si	No	Si	No	Non sismico	
1-1	Caso 1-1							
2	SLU VENTOX (SLU Appr.2)	2-1	Si	No	Si	No	Non sismico	
2-1	Caso 2-1							
3	SLU VENTOY (SLU Appr.2)	da 3-1 a 3-2	Si	No	Si	No	Non sismico	
3-1	Caso 3-1; 3-2 Caso 3-2							
4	SLU con SISMAX PRINC (SLU Appr.2)	da 4-1 a 4-16	Si	No	Si	No	$k_{h,x} = 0.05, k_{h,y} = 0.02$	
4-1	Caso 6-1; 4-2 Caso 6-2; 4-3 Caso 6-3; 4-4 Caso 6-4; 4-5 Caso 6-5; 4-6 Caso 6-6; 4-7 Caso 6-7; 4-8 Caso 6-8; 4-9 Caso 6-9; 4-10 Caso 6-10; 4-11 Caso 6-11; 4-12 Caso 6-12; 4-13 Caso 6-13; 4-14 Caso 6-14; 4-15 Caso 6-15; 4-16 Caso 6-16							
5	SLU con SISMAY PRINC (SLU Appr.2)	da 5-1 a 5-16	Si	No	Si	No	$k_{h,x} = 0.02, k_{h,y} = 0.05$	
5-1	Caso 7-1; 5-2 Caso 7-2; 5-3 Caso 7-3; 5-4 Caso 7-4; 5-5 Caso 7-5; 5-6 Caso 7-6; 5-7 Caso 7-7; 5-8 Caso 7-8; 5-9 Caso 7-9; 5-10 Caso 7-10; 5-11 Caso 7-11; 5-12 Caso 7-12; 5-13 Caso 7-13; 5-14 Caso 7-14; 5-15 Caso 7-15; 5-16 Caso 7-16							
6	SLU FON con SISMAX P (SLU Appr.2)	da 6-1 a 6-16	Si	No	Si	No	$k_{h,x} = 0.05, k_{h,y} = 0.02$	



6-1 Caso 10-1; 6-2 Caso 10-2; 6-3 Caso 10-3; 6-4 Caso 10-4; 6-5 Caso 10-5; 6-6 Caso 10-6; 6-7 Caso 10-7; 6-8 Caso 10-8; 6-9 Caso 10-9; 6-10 Caso 10-10; 6-11 Caso 10-11; 6-12 Caso 10-12; 6-13 Caso 10-13; 6-14 Caso 10-14; 6-15 Caso 10-15; 6-16 Caso 10-16

7	SLU FON con SISMAY P (SLU Appr.2)	da a 7-16	7-1	Si	No	Si	No	$k_{h,x} = 0.02, k_{h,y} = 0.05$
7-1 Caso 11-1; 7-2 Caso 11-2; 7-3 Caso 11-3; 7-4 Caso 11-4; 7-5 Caso 11-5; 7-6 Caso 11-6; 7-7 Caso 11-7; 7-8 Caso 11-8; 7-9 Caso 11-9; 7-10 Caso 11-10; 7-11 Caso 11-11; 7-12 Caso 11-12; 7-13 Caso 11-13; 7-14 Caso 11-14; 7-15 Caso 11-15; 7-16 Caso 11-16								

La seguente tabella elenca i coefficienti di sicurezza parziali, applicati alle caratteristiche meccaniche del terreno, alla capacità portante, alla resistenza a scorrimento e del terreno, per ciascun Caso di calcolo.

Caso	$\gamma_{G1,fav}$	$\gamma_{G1,sfa}$	$\gamma_{G2,fav}$	$\gamma_{G2,sfa}$	$\gamma_{Qi,fav}$	$\gamma_{Qi,sfa}$	γ_y	γ_ϕ	γ_c'	$\gamma_{R,v}$	$\gamma_{R,e}$	$\gamma_{R,equ}$	$\gamma_{R,upl}$
1	1.00	1.30	0.00	1.50	0.00	1.50	1.00	1.00	1.00	2.30	1.10	1.00	-
2	1.00	1.30	0.00	1.50	0.00	1.50	1.00	1.00	1.00	2.30	1.10	1.00	-
3	1.00	1.30	0.00	1.50	0.00	1.50	1.00	1.00	1.00	2.30	1.10	1.00	-
4	1.00	1.00	1.00	1.00	1.00	1.00	1.00	1.00	1.00	2.30	1.10	1.00	-
5	1.00	1.00	1.00	1.00	1.00	1.00	1.00	1.00	1.00	2.30	1.10	1.00	-
6	1.00	1.00	1.00	1.00	1.00	1.00	1.00	1.00	1.00	2.30	1.10	1.00	-
7	1.00	1.00	1.00	1.00	1.00	1.00	1.00	1.00	1.00	2.30	1.10	1.00	-

Segue la tabella riassuntiva di tutte le verifiche a **ribaltamento**.

Fondazione				Fondazione e Sottofondo			
Caso	R_d [daN*cm]	E_d [daN*cm]	Verifica	R_d [daN*cm]	E_d [daN*cm]	Verifica	
1-1	5797140	950310	SI ($5797140/950310 = 6.10 \geq 1.0$)	7544060	950310	SI ($7544060/950310 = 7.94 \geq 1.0$)	
2-1	5797140	950310	SI ($5797140/950310 = 6.10 \geq 1.0$)	7544060	950310	SI ($7544060/950310 = 7.94 \geq 1.0$)	
3-1	23618790	1591940	SI ($23618790/1591940 = 14.84 \geq 1.0$)	29069680	1591940	SI ($29069680/1591940 = 18.26 \geq 1.0$)	
3-2	5795980	1540100	SI ($5795980/1540100 = 3.76 \geq 1.0$)	7542800	1557550	SI ($7542800/1557550 = 4.84 \geq 1.0$)	
4-1	3738480	469490	SI ($3738480/469490 = 7.96 \geq 1.0$)	5026490	473790	SI ($5026490/473790 = 10.61 \geq 1.0$)	
4-2	3738480	469490	SI ($3738480/469490 = 7.96 \geq 1.0$)	5026490	473780	SI ($5026490/473780 = 10.61 \geq 1.0$)	
4-3	3737960	759560	SI ($3737960/759560 = 4.92 \geq 1.0$)	5030220	759560	SI ($5030220/759560 = 6.62 \geq 1.0$)	
4-4	3737960	759560	SI ($3737960/759560 = 4.92 \geq 1.0$)	5030220	759560	SI ($5030220/759560 = 6.62 \geq 1.0$)	
4-5	3738480	469500	SI ($3738480/469500 = 7.96 \geq 1.0$)	5026490	473790	SI ($5026490/473790 = 10.61 \geq 1.0$)	
4-6	3738480	469490	SI ($3738480/469490 = 7.96 \geq 1.0$)	5026490	473790	SI ($5026490/473790 = 10.61 \geq 1.0$)	
4-7	3737960	759570	SI ($3737960/759570 = 4.92 \geq 1.0$)	5030220	759570	SI ($5030220/759570 = 6.62 \geq 1.0$)	
4-8	3737960	759560	SI ($3737960/759560 = 4.92 \geq 1.0$)	5030220	759560	SI ($5030220/759560 = 6.62 \geq 1.0$)	
4-9	3742360	467580	SI ($3742360/467580 = 8.00 \geq 1.0$)	5030670	471870	SI ($5030670/471870 = 10.66 \geq 1.0$)	
4-10	3742360	467570	SI ($3742360/467570 = 8.00 \geq 1.0$)	5030670	471860	SI ($5030670/471860 = 10.66 \geq 1.0$)	
4-11	3741710	757640	SI ($3741710/757640 = 4.94 \geq 1.0$)	5034260	757640	SI ($5034260/757640 = 6.64 \geq 1.0$)	
4-12	3741710	757640	SI ($3741710/757640 = 4.94 \geq 1.0$)	5034260	757640	SI ($5034260/757640 = 6.64 \geq 1.0$)	
4-13	3742360	467580	SI ($3742360/467580 = 8.00 \geq 1.0$)	5030670	471870	SI ($5030670/471870 = 10.66 \geq 1.0$)	
4-14	3742360	467570	SI ($3742360/467570 = 8.00 \geq 1.0$)	5030670	471870	SI ($5030670/471870 = 10.66 \geq 1.0$)	
4-15	3741710	757650	SI ($3741710/757650 = 4.94 \geq 1.0$)	5034260	757650	SI ($5034260/757650 = 6.64 \geq 1.0$)	
4-16	3741710	757640	SI ($3741710/757640 = 4.94 \geq 1.0$)	5034260	757640	SI ($5034260/757640 = 6.64 \geq 1.0$)	
5-1	15236380	860010	SI ($15236380/860010 = 17.72 \geq 1.0$)	19373690	864210	SI ($19373690/864210 = 22.42 \geq 1.0$)	
5-2	15236380	859990	SI ($15236380/859990 = 17.72 \geq 1.0$)	19373690	864190	SI ($19373690/864190 = 22.42 \geq 1.0$)	
5-3	15241120	1158850	SI ($15241120/1158850 = 13.15 \geq 1.0$)	19382720	1158850	SI ($19382720/1158850 = 16.73 \geq 1.0$)	
5-4	15241120	1158830	SI ($15241120/1158830 = 13.15 \geq 1.0$)	19382720	1158830	SI ($19382720/1158830 = 16.73 \geq 1.0$)	
5-5	15235860	860280	SI ($15235860/860280 = 17.71 \geq 1.0$)	19373150	864480	SI ($19373150/864480 = 22.41 \geq 1.0$)	
5-6	15235860	860260	SI ($15235860/860260 = 17.71 \geq 1.0$)	19373150	864460	SI ($19373150/864460 = 22.41 \geq 1.0$)	
5-7	15240600	1159120	SI ($15240600/1159120 = 13.15 \geq 1.0$)	19382180	1159120	SI ($19382180/1159120 = 16.72 \geq 1.0$)	
5-8	15240600	1159100	SI ($15240600/1159100 = 13.15 \geq 1.0$)	19382180	1159100	SI ($19382180/1159100 = 16.72 \geq 1.0$)	
5-9	3738610	1097310	SI ($3738610/1097310 = 3.41 \geq 1.0$)	5040940	1097310	SI ($5040940/1097310 = 4.59 \geq 1.0$)	
5-10	3738610	1097310	SI ($3738610/1097310 = 3.41 \geq 1.0$)	5040940	1097310	SI ($5040940/1097310 = 4.59 \geq 1.0$)	
5-11	3739770	1096740	SI ($3739770/1096740 = 3.41 \geq 1.0$)	5042190	1096740	SI ($5042190/1096740 = 4.60 \geq 1.0$)	



5-12	3739770	1096740	SI (3739770/1096740 = 3.41 >= 1.0)	5042190	1096740	SI (5042190/1096740 = 4.60 >= 1.0)
5-13	3738610	1097300	SI (3738610/1097300 = 3.41 >= 1.0)	5040940	1097300	SI (5040940/1097300 = 4.59 >= 1.0)
5-14	3738610	1097300	SI (3738610/1097300 = 3.41 >= 1.0)	5040940	1097300	SI (5040940/1097300 = 4.59 >= 1.0)
5-15	3739770	1096720	SI (3739770/1096720 = 3.41 >= 1.0)	5042190	1096720	SI (5042190/1096720 = 4.60 >= 1.0)
5-16	3739770	1096720	SI (3739770/1096720 = 3.41 >= 1.0)	5042190	1096720	SI (5042190/1096720 = 4.60 >= 1.0)
6-1	3738350	455090	SI (3738350/455090 = 8.21 >= 1.0)	5026350	459810	SI (5026350/459810 = 10.93 >= 1.0)
6-2	3738350	455080	SI (3738350/455080 = 8.21 >= 1.0)	5026350	459800	SI (5026350/459800 = 10.93 >= 1.0)
6-3	3737700	774160	SI (3737700/774160 = 4.83 >= 1.0)	5030380	774160	SI (5030380/774160 = 6.50 >= 1.0)
6-4	3737700	774160	SI (3737700/774160 = 4.83 >= 1.0)	5030380	774160	SI (5030380/774160 = 6.50 >= 1.0)
6-5	3738350	455090	SI (3738350/455090 = 8.21 >= 1.0)	5026350	459810	SI (5026350/459810 = 10.93 >= 1.0)
6-6	3738350	455090	SI (3738350/455090 = 8.21 >= 1.0)	5026350	459810	SI (5026350/459810 = 10.93 >= 1.0)
6-7	3737700	774170	SI (3737700/774170 = 4.83 >= 1.0)	5030380	774170	SI (5030380/774170 = 6.50 >= 1.0)
6-8	3737700	774160	SI (3737700/774160 = 4.83 >= 1.0)	5030380	774160	SI (5030380/774160 = 6.50 >= 1.0)
6-9	3742490	452980	SI (3742490/452980 = 8.26 >= 1.0)	5030810	457700	SI (5030810/457700 = 10.99 >= 1.0)
6-10	3742490	452970	SI (3742490/452970 = 8.26 >= 1.0)	5030810	457690	SI (5030810/457690 = 10.99 >= 1.0)
6-11	3741970	772050	SI (3741970/772050 = 4.85 >= 1.0)	5034970	772050	SI (5034970/772050 = 6.52 >= 1.0)
6-12	3741840	772050	SI (3741840/772050 = 4.85 >= 1.0)	5034830	772050	SI (5034830/772050 = 6.52 >= 1.0)
6-13	3742490	452980	SI (3742490/452980 = 8.26 >= 1.0)	5030810	457700	SI (5030810/457700 = 10.99 >= 1.0)
6-14	3742490	452980	SI (3742490/452980 = 8.26 >= 1.0)	5030810	457700	SI (5030810/457700 = 10.99 >= 1.0)
6-15	3741970	772060	SI (3741970/772060 = 4.85 >= 1.0)	5034970	772060	SI (5034970/772060 = 6.52 >= 1.0)
6-16	3741970	772050	SI (3741970/772050 = 4.85 >= 1.0)	5034970	772050	SI (5034970/772050 = 6.52 >= 1.0)
7-1	15236380	845100	SI (15236380/845100 = 18.03 >= 1.0)	19373690	849720	SI (19373690/849720 = 22.80 >= 1.0)
7-2	15236380	845080	SI (15236380/845080 = 18.03 >= 1.0)	19373690	849700	SI (19373690/849700 = 22.80 >= 1.0)
7-3	15241650	1173830	SI (15241650/1173830 = 12.98 >= 1.0)	19383670	1173830	SI (19383670/1173830 = 16.51 >= 1.0)
7-4	15241650	1173810	SI (15241650/1173810 = 12.98 >= 1.0)	19383670	1173810	SI (19383670/1173810 = 16.51 >= 1.0)
7-5	15236380	845400	SI (15236380/845400 = 18.02 >= 1.0)	19373690	850020	SI (19373690/850020 = 22.79 >= 1.0)
7-6	15236380	845370	SI (15236380/845370 = 18.02 >= 1.0)	19373690	849990	SI (19373690/849990 = 22.79 >= 1.0)
7-7	15241120	1174120	SI (15241120/1174120 = 12.98 >= 1.0)	19383140	1174120	SI (19383140/1174120 = 16.51 >= 1.0)
7-8	15241120	1174100	SI (15241120/1174100 = 12.98 >= 1.0)	19383140	1174100	SI (19383140/1174100 = 16.51 >= 1.0)
7-9	3738480	1145680	SI (3738480/1145680 = 3.26 >= 1.0)	5042230	1145680	SI (5042230/1145680 = 4.40 >= 1.0)
7-10	3738480	1145690	SI (3738480/1145690 = 3.26 >= 1.0)	5042230	1145690	SI (5042230/1145690 = 4.40 >= 1.0)
7-11	3739770	1145050	SI (3739770/1145050 = 3.27 >= 1.0)	5043620	1145050	SI (5043620/1145050 = 4.40 >= 1.0)
7-12	3739770	1145050	SI (3739770/1145050 = 3.27 >= 1.0)	5043620	1145050	SI (5043620/1145050 = 4.40 >= 1.0)
7-13	3738480	1145670	SI (3738480/1145670 = 3.26 >= 1.0)	5042230	1145670	SI (5042230/1145670 = 4.40 >= 1.0)
7-14	3738480	1145670	SI (3738480/1145670 = 3.26 >= 1.0)	5042230	1145670	SI (5042230/1145670 = 4.40 >= 1.0)
7-15	3739640	1145040	SI (3739640/1145040 = 3.27 >= 1.0)	5043480	1145040	SI (5043480/1145040 = 4.40 >= 1.0)
7-16	3739640	1145040	SI (3739640/1145040 = 3.27 >= 1.0)	5043480	1145040	SI (5043480/1145040 = 4.40 >= 1.0)

Segue la tabella riassuntiva di tutte le verifiche di **capacità portante**, i dettagli sono riportati nei paragrafi successivi.

Cond. drenate			
Caso	E _d [daN]	R _d [daN]	Verifica
1-1	54173.9	525704.4	SI (525704.4/54173.9 = 9.70 >= 1.0)
2-1	54173.9	525704.4	SI (525704.4/54173.9 = 9.70 >= 1.0)
3-1	54183.9	567896.6	SI (567896.6/54183.9 = 10.48 >= 1.0)
3-2	54164.9	407208.1	SI (407208.1/54164.9 = 7.52 >= 1.0)
4-1	36095.3	414366.5	SI (414366.5/36095.3 = 11.48 >= 1.0)
4-2	36095.3	414365.4	SI (414365.4/36095.3 = 11.48 >= 1.0)
4-3	36091.3	370317.2	SI (370317.2/36091.3 = 10.26 >= 1.0)
4-4	36091.3	370316.2	SI (370316.2/36091.3 = 10.26 >= 1.0)
4-5	36095.3	414367.3	SI (414367.3/36095.3 = 11.48 >= 1.0)
4-6	36095.3	414366.3	SI (414366.3/36095.3 = 11.48 >= 1.0)
4-7	36091.3	370317.9	SI (370317.9/36091.3 = 10.26 >= 1.0)



4-8	36091.3	370316.9	SI (370316.9/36091.3 = 10.26 >= 1.0)
4-9	36125.3	394702.6	SI (394702.6/36125.3 = 10.93 >= 1.0)
4-10	36125.3	394701.4	SI (394701.4/36125.3 = 10.93 >= 1.0)
4-11	36120.3	352722.1	SI (352722.1/36120.3 = 9.77 >= 1.0)
4-12	36120.3	352721	SI (352721/36120.3 = 9.77 >= 1.0)
4-13	36125.3	394703.4	SI (394703.4/36125.3 = 10.93 >= 1.0)
4-14	36125.3	394702.4	SI (394702.4/36125.3 = 10.93 >= 1.0)
4-15	36120.3	352722.8	SI (352722.8/36120.3 = 9.77 >= 1.0)
4-16	36120.3	352721.7	SI (352721.7/36120.3 = 9.77 >= 1.0)
5-1	36111.3	453313.2	SI (453313.2/36111.3 = 12.55 >= 1.0)
5-2	36111.3	453313.5	SI (453313.5/36111.3 = 12.55 >= 1.0)
5-3	36120.3	446827.2	SI (446827.2/36120.3 = 12.37 >= 1.0)
5-4	36120.3	446827.5	SI (446827.5/36120.3 = 12.37 >= 1.0)
5-5	36110.3	453306.2	SI (453306.2/36110.3 = 12.55 >= 1.0)
5-6	36110.3	453306.6	SI (453306.6/36110.3 = 12.55 >= 1.0)
5-7	36119.3	446820	SI (446820/36119.3 = 12.37 >= 1.0)
5-8	36119.3	446820.3	SI (446820.3/36119.3 = 12.37 >= 1.0)
5-9	36096.3	310818.6	SI (310818.6/36096.3 = 8.61 >= 1.0)
5-10	36096.3	310818.8	SI (310818.8/36096.3 = 8.61 >= 1.0)
5-11	36105.3	306351.7	SI (306351.7/36105.3 = 8.48 >= 1.0)
5-12	36105.3	306351.9	SI (306351.9/36105.3 = 8.48 >= 1.0)
5-13	36096.3	310815.9	SI (310815.9/36096.3 = 8.61 >= 1.0)
5-14	36096.3	310816.2	SI (310816.2/36096.3 = 8.61 >= 1.0)
5-15	36105.3	306349	SI (306349/36105.3 = 8.48 >= 1.0)
5-16	36105.3	306349.1	SI (306349.1/36105.3 = 8.48 >= 1.0)
6-1	36094.3	413209.8	SI (413209.8/36094.3 = 11.45 >= 1.0)
6-2	36094.3	413208.4	SI (413208.4/36094.3 = 11.45 >= 1.0)
6-3	36089.3	365194.6	SI (365194.6/36089.3 = 10.12 >= 1.0)
6-4	36089.3	365193.6	SI (365193.6/36089.3 = 10.12 >= 1.0)
6-5	36094.3	413210.7	SI (413210.7/36094.3 = 11.45 >= 1.0)
6-6	36094.3	413209.3	SI (413209.3/36094.3 = 11.45 >= 1.0)
6-7	36089.3	365195.4	SI (365195.4/36089.3 = 10.12 >= 1.0)
6-8	36089.3	365194.4	SI (365194.4/36089.3 = 10.12 >= 1.0)
6-9	36126.3	391681.2	SI (391681.2/36126.3 = 10.84 >= 1.0)
6-10	36126.3	391680	SI (391680/36126.3 = 10.84 >= 1.0)
6-11	36122.3	346151.4	SI (346151.4/36122.3 = 9.58 >= 1.0)
6-12	36121.3	346145.5	SI (346145.5/36121.3 = 9.58 >= 1.0)
6-13	36126.3	391682.2	SI (391682.2/36126.3 = 10.84 >= 1.0)
6-14	36126.3	391680.9	SI (391680.9/36126.3 = 10.84 >= 1.0)
6-15	36122.3	346152.2	SI (346152.2/36122.3 = 9.58 >= 1.0)
6-16	36122.3	346151.2	SI (346151.2/36122.3 = 9.58 >= 1.0)
7-1	36111.3	455760.3	SI (455760.3/36111.3 = 12.62 >= 1.0)
7-2	36111.3	455760.6	SI (455760.6/36111.3 = 12.62 >= 1.0)
7-3	36121.3	448599.7	SI (448599.7/36121.3 = 12.42 >= 1.0)
7-4	36121.3	448600	SI (448600/36121.3 = 12.42 >= 1.0)



7-5	36111.3	455755.6	SI (455755.6/36111.3 = 12.62 >= 1.0)
7-6	36111.3	455755.9	SI (455755.9/36111.3 = 12.62 >= 1.0)
7-7	36120.3	448592	SI (448592/36120.3 = 12.42 >= 1.0)
7-8	36120.3	448592.3	SI (448592.3/36120.3 = 12.42 >= 1.0)
7-9	36095.3	300912.4	SI (300912.4/36095.3 = 8.34 >= 1.0)
7-10	36095.3	300912.6	SI (300912.6/36095.3 = 8.34 >= 1.0)
7-11	36105.3	296161.8	SI (296161.8/36105.3 = 8.20 >= 1.0)
7-12	36105.3	296161.9	SI (296161.9/36105.3 = 8.20 >= 1.0)
7-13	36095.3	300909.5	SI (300909.5/36095.3 = 8.34 >= 1.0)
7-14	36095.3	300909.7	SI (300909.7/36095.3 = 8.34 >= 1.0)
7-15	36104.3	296153.2	SI (296153.2/36104.3 = 8.20 >= 1.0)
7-16	36104.3	296153.4	SI (296153.4/36104.3 = 8.20 >= 1.0)

Segue la tabella riassuntiva di tutte le verifiche di **resistenza a scorrimento**, i dettagli sono riportati nei paragrafi successivi.

Caso	Cond. drenate		Verifica
	E _d [daN]	R _d [daN]	
1-1	0	18904.9	SI (18904.9/0 = 1.00 >= 1.0)
2-1	0	18904.9	SI (18904.9/0 = 1.00 >= 1.0)
3-1	1745.4	20908.2	SI (20908.2/1745.4 = 11.98 >= 1.0)
3-2	1745.4	20901.6	SI (20901.6/1745.4 = 11.98 >= 1.0)
4-1	1464.3	13663.5	SI (13663.5/1464.3 = 9.33 >= 1.0)
4-2	1464.3	13663.5	SI (13663.5/1464.3 = 9.33 >= 1.0)
4-3	1464.3	13662.1	SI (13662.1/1464.3 = 9.33 >= 1.0)
4-4	1464.3	13662.1	SI (13662.1/1464.3 = 9.33 >= 1.0)
4-5	1464.3	13663.5	SI (13663.5/1464.3 = 9.33 >= 1.0)
4-6	1464.3	13663.5	SI (13663.5/1464.3 = 9.33 >= 1.0)
4-7	1464.3	13662.1	SI (13662.1/1464.3 = 9.33 >= 1.0)
4-8	1464.3	13662.1	SI (13662.1/1464.3 = 9.33 >= 1.0)
4-9	1464.3	13674	SI (13674/1464.3 = 9.34 >= 1.0)
4-10	1464.3	13674	SI (13674/1464.3 = 9.34 >= 1.0)
4-11	1464.3	13672.2	SI (13672.2/1464.3 = 9.34 >= 1.0)
4-12	1464.3	13672.2	SI (13672.2/1464.3 = 9.34 >= 1.0)
4-13	1464.3	13674	SI (13674/1464.3 = 9.34 >= 1.0)
4-14	1464.3	13674	SI (13674/1464.3 = 9.34 >= 1.0)
4-15	1464.3	13672.2	SI (13672.2/1464.3 = 9.34 >= 1.0)
4-16	1464.3	13672.2	SI (13672.2/1464.3 = 9.34 >= 1.0)
5-1	1491.1	14662.3	SI (14662.3/1491.1 = 9.83 >= 1.0)
5-2	1491.1	14662.3	SI (14662.3/1491.1 = 9.83 >= 1.0)
5-3	1491.1	14665.4	SI (14665.4/1491.1 = 9.84 >= 1.0)
5-4	1491.1	14665.4	SI (14665.4/1491.1 = 9.84 >= 1.0)
5-5	1491.1	14661.9	SI (14661.9/1491.1 = 9.83 >= 1.0)
5-6	1491.1	14661.9	SI (14661.9/1491.1 = 9.83 >= 1.0)
5-7	1491.1	14665	SI (14665/1491.1 = 9.84 >= 1.0)
5-8	1491.1	14665	SI (14665/1491.1 = 9.84 >= 1.0)
5-9	1491.1	14657	SI (14657/1491.1 = 9.83 >= 1.0)
5-10	1491.1	14657	SI (14657/1491.1 = 9.83 >= 1.0)



5-11	1491.1	14660.2	SI (14660.2/1491.1 = 9.83 >= 1.0)
5-12	1491.1	14660.2	SI (14660.2/1491.1 = 9.83 >= 1.0)
5-13	1491.1	14657	SI (14657/1491.1 = 9.83 >= 1.0)
5-14	1491.1	14657	SI (14657/1491.1 = 9.83 >= 1.0)
5-15	1491.1	14660.2	SI (14660.2/1491.1 = 9.83 >= 1.0)
5-16	1491.1	14660.2	SI (14660.2/1491.1 = 9.83 >= 1.0)
6-1	1610.8	13663.1	SI (13663.1/1610.8 = 8.48 >= 1.0)
6-2	1610.8	13663.1	SI (13663.1/1610.8 = 8.48 >= 1.0)
6-3	1610.8	13661.4	SI (13661.4/1610.8 = 8.48 >= 1.0)
6-4	1610.8	13661.4	SI (13661.4/1610.8 = 8.48 >= 1.0)
6-5	1610.8	13663.1	SI (13663.1/1610.8 = 8.48 >= 1.0)
6-6	1610.8	13663.1	SI (13663.1/1610.8 = 8.48 >= 1.0)
6-7	1610.8	13661.4	SI (13661.4/1610.8 = 8.48 >= 1.0)
6-8	1610.8	13661.4	SI (13661.4/1610.8 = 8.48 >= 1.0)
6-9	1610.8	13674.3	SI (13674.3/1610.8 = 8.49 >= 1.0)
6-10	1610.8	13674.3	SI (13674.3/1610.8 = 8.49 >= 1.0)
6-11	1610.8	13672.9	SI (13672.9/1610.8 = 8.49 >= 1.0)
6-12	1610.8	13672.6	SI (13672.6/1610.8 = 8.49 >= 1.0)
6-13	1610.8	13674.3	SI (13674.3/1610.8 = 8.49 >= 1.0)
6-14	1610.8	13674.3	SI (13674.3/1610.8 = 8.49 >= 1.0)
6-15	1610.8	13672.9	SI (13672.9/1610.8 = 8.49 >= 1.0)
6-16	1610.8	13672.9	SI (13672.9/1610.8 = 8.49 >= 1.0)
7-1	1640.2	14662.3	SI (14662.3/1640.2 = 8.94 >= 1.0)
7-2	1640.2	14662.3	SI (14662.3/1640.2 = 8.94 >= 1.0)
7-3	1640.2	14665.7	SI (14665.7/1640.2 = 8.94 >= 1.0)
7-4	1640.2	14665.7	SI (14665.7/1640.2 = 8.94 >= 1.0)
7-5	1640.2	14662.3	SI (14662.3/1640.2 = 8.94 >= 1.0)
7-6	1640.2	14662.3	SI (14662.3/1640.2 = 8.94 >= 1.0)
7-7	1640.2	14665.4	SI (14665.4/1640.2 = 8.94 >= 1.0)
7-8	1640.2	14665.4	SI (14665.4/1640.2 = 8.94 >= 1.0)
7-9	1640.2	14656.7	SI (14656.7/1640.2 = 8.94 >= 1.0)
7-10	1640.2	14656.7	SI (14656.7/1640.2 = 8.94 >= 1.0)
7-11	1640.2	14660.2	SI (14660.2/1640.2 = 8.94 >= 1.0)
7-12	1640.2	14660.2	SI (14660.2/1640.2 = 8.94 >= 1.0)
7-13	1640.2	14656.7	SI (14656.7/1640.2 = 8.94 >= 1.0)
7-14	1640.2	14656.7	SI (14656.7/1640.2 = 8.94 >= 1.0)
7-15	1640.2	14659.8	SI (14659.8/1640.2 = 8.94 >= 1.0)
7-16	1640.2	14659.8	SI (14659.8/1640.2 = 8.94 >= 1.0)

6.2. Descrizione del metodo di calcolo.

Il calcolo della capacità portante viene eseguito secondo la formula trinomia, considerando separatamente i contributi dovuti alla coesione, al sovraccarico laterale ed al peso del terreno.

Per le verifiche in condizioni drenate, si utilizzano i coefficienti di capacità portante Nq (Prandtl, 1921), Nc (Reissner, 1924), N_γ (Vesic, 1973), i coefficienti correttivi dovuti alla forma della fondazione (s, Meyerhof, 1951 e 1963), all'approfondimento (d, Brinch Hansen, 1970), all'inclinazione del carico (i, Vesic, 1973), all'inclinazione del piano di posa (b, Vesic, 1973), all'inclinazione del piano campagna (g, Vesic, 1973), e all'azione sismica (h - Maugeri e Novità, 2004).



Nel caso di terreno eterogeneo (litologie differenti, presenza di falda), i parametri meccanici utilizzati nel calcolo sono ottenuti come media ponderata dei valori rinvenuti all'interno del cuneo di rottura.

La resistenza a scorrimento, viene ottenuta sommando i contributi del carico normale al piano di posa moltiplicato per il coefficiente d'attrito, e dell'area del piano di posa (eventualmente ridotta per carico verticale eccentrico) per l'adesione fondazione-terreno. In condizioni drenate, l'attrito fondazione terreno è assunto pari all'angolo di resistenza al taglio del terreno moltiplicato per il coefficiente 0.75, l'adesione fondazione terreno è trascurata (assunta pari a 0). Si considera il contributo della pressione del terreno a lato della fondazione. La resistenza laterale del terreno è assunta pari alla resistenza passiva disponibile moltiplicata per 0.50.

6.3. Descrizione della fondazione.

La fondazione ha piano di posa rettangolare, con lato X di 1073 [cm], lato Y di 278.51 [cm], e centro alla quota z = -40 [cm]. Il piano di posa è orizzontale.

6.4. Descrizione del terreno.

La stratigrafia è eterogenea, presenta 3 strati						
n.	nome	z _i [cm]	z _f [cm]	γ _d [daN/m ³]	γ _t [daN/m ³]	c' [daN/cm ²]
1	Sabbia	0	-6600	1700	1850	0
2	Sabbia	-6600	-9900	1800	2000	0
3	Sabbia	-9900	-10200	1850	2100	0

La stratigrafia contiene una falda		
n.	z _i [cm]	z _r [cm]
1	-500	-3000

6.5. Verifiche in condizioni drenate.

6.5.1. Sollecitazioni al piano di posa.

Si riportano di seguito le componenti della sollecitazione applicata e la distanza del punto di applicazione dal centro del piano di posa della fondazione.

Rispetto al sistema di rif. globale:

Caso	Fx [daN]	Fy [daN]	Fz [daN]	Mx [daN*cm]	My [daN*cm]	dx [cm]	dy [cm]	dz [cm]
1-1	0	0	-54173.93	950312	-1591585	0	0	10
2-1	0	0	-54173.93	950312	-1591585	0	0	10
3-1	0	1745.41	-54183.93	360527	-1591937	0	0	10
3-2	0	-1745.41	-54164.93	1540098	-1591233	0	0	10
4-1	-1400.01	-429.21	-36095.25	469494	-511159	0	0	10
4-2	-1400.01	-429.21	-36095.25	469491	-511239	0	0	10
4-3	-1400.01	429.21	-36091.25	759563	-510888	0	0	10
4-4	-1400.01	429.21	-36091.25	759560	-510969	0	0	10
4-5	-1400.01	-429.21	-36095.25	469497	-511097	0	0	10
4-6	-1400.01	-429.21	-36095.25	469493	-511177	0	0	10
4-7	-1400.01	429.21	-36091.25	759566	-510826	0	0	10
4-8	-1400.01	429.21	-36091.25	759563	-510907	0	0	10
4-9	1400.01	-429.21	-36125.25	467575	-1507302	0	0	10
4-10	1400.01	-429.21	-36125.25	467572	-1507382	0	0	10
4-11	1400.01	429.21	-36120.25	757644	-1507031	0	0	10
4-12	1400.01	429.21	-36120.25	757641	-1507112	0	0	10
4-13	1400.01	-429.21	-36125.25	467578	-1507240	0	0	10
4-14	1400.01	-429.21	-36125.25	467574	-1507320	0	0	10
4-15	1400.01	429.21	-36120.25	757647	-1506969	0	0	10



4-16	1400.01	429.21	-36120.25	757644	-1507050	0	0	10
5-1	-420	-1430.7	-36111.25	130413	-860009	0	0	10
5-2	-420	-1430.7	-36111.25	130414	-859990	0	0	10
5-3	420	-1430.7	-36120.25	129837	-1158852	0	0	10
5-4	420	-1430.7	-36120.25	129838	-1158833	0	0	10
5-5	-420	-1430.7	-36110.25	130402	-860277	0	0	10
5-6	-420	-1430.7	-36110.25	130402	-860259	0	0	10
5-7	420	-1430.7	-36119.25	129826	-1159120	0	0	10
5-8	420	-1430.7	-36119.25	129827	-1159102	0	0	10
5-9	-420	1430.7	-36096.25	1097311	-859107	0	0	10
5-10	-420	1430.7	-36096.25	1097312	-859088	0	0	10
5-11	420	1430.7	-36105.25	1096735	-1157950	0	0	10
5-12	420	1430.7	-36105.25	1096736	-1157931	0	0	10
5-13	-420	1430.7	-36096.25	1097300	-859375	0	0	10
5-14	-420	1430.7	-36096.25	1097300	-859357	0	0	10
5-15	420	1430.7	-36105.25	1096724	-1158218	0	0	10
5-16	420	1430.7	-36105.25	1096725	-1158199	0	0	10
6-1	-1540.01	-472.13	-36094.25	455086	-461364	0	0	10
6-2	-1540.01	-472.13	-36094.25	455083	-461453	0	0	10
6-3	-1540.01	472.13	-36089.25	774163	-461066	0	0	10
6-4	-1540.01	472.13	-36089.25	774159	-461155	0	0	10
6-5	-1540.01	-472.13	-36094.25	455089	-461296	0	0	10
6-6	-1540.01	-472.13	-36094.25	455086	-461385	0	0	10
6-7	-1540.01	472.13	-36089.25	774166	-460998	0	0	10
6-8	-1540.01	472.13	-36089.25	774162	-461087	0	0	10
6-9	1540.01	-472.13	-36126.25	452976	-1557122	0	0	10
6-10	1540.01	-472.13	-36126.25	452972	-1557210	0	0	10
6-11	1540.01	472.13	-36122.25	772052	-1556824	0	0	10
6-12	1540.01	472.13	-36121.25	772048	-1556912	0	0	10
6-13	1540.01	-472.13	-36126.25	452979	-1557054	0	0	10
6-14	1540.01	-472.13	-36126.25	452975	-1557142	0	0	10
6-15	1540.01	472.13	-36122.25	772055	-1556756	0	0	10
6-16	1540.01	472.13	-36122.25	772051	-1556844	0	0	10
7-1	-462	-1573.77	-36111.25	82097	-845100	0	0	10
7-2	-462	-1573.77	-36111.25	82098	-845079	0	0	10
7-3	462	-1573.77	-36121.25	81464	-1173827	0	0	10
7-4	462	-1573.77	-36121.25	81465	-1173806	0	0	10
7-5	-462	-1573.77	-36111.25	82085	-845395	0	0	10
7-6	-462	-1573.77	-36111.25	82086	-845374	0	0	10
7-7	462	-1573.77	-36120.25	81452	-1174122	0	0	10
7-8	462	-1573.77	-36120.25	81453	-1174102	0	0	10
7-9	-462	1573.77	-36095.25	1145685	-844107	0	0	10
7-10	-462	1573.77	-36095.25	1145686	-844087	0	0	10
7-11	462	1573.77	-36105.25	1145052	-1172834	0	0	10
7-12	462	1573.77	-36105.25	1145053	-1172814	0	0	10



7-13	-462	1573.77	-36095.25	1145673	-844402	0	0	10
7-14	-462	1573.77	-36095.25	1145674	-844382	0	0	10
7-15	462	1573.77	-36104.25	1145039	-1173129	0	0	10
7-16	462	1573.77	-36104.25	1145040	-1173109	0	0	10

Rispetto al sistema di rif. locale (centro piano di posa):

Caso	Hx [daN]	Hy [daN]	Vz [daN]	Mx [daN*cm]	My [daN*cm]	dx [cm]	dy [cm]	dz [cm]
------	----------	----------	----------	-------------	-------------	---------	---------	---------

1-1	0	0	-54173.93	950312	-1591585	-	-	-
2-1	0	0	-54173.93	950312	-1591585	-	-	-
3-1	0	1745.41	-54183.93	343073	-1591937	-	-	-
3-2	0	-1745.41	-54164.93	1557552	-1591233	-	-	-
4-1	-1400.01	-429.21	-36095.25	473786	-525159	-	-	-
4-2	-1400.01	-429.21	-36095.25	473783	-525239	-	-	-
4-3	-1400.01	429.21	-36091.25	755271	-524888	-	-	-
4-4	-1400.01	429.21	-36091.25	755268	-524969	-	-	-
4-5	-1400.01	-429.21	-36095.25	473789	-525097	-	-	-
4-6	-1400.01	-429.21	-36095.25	473785	-525177	-	-	-
4-7	-1400.01	429.21	-36091.25	755274	-524826	-	-	-
4-8	-1400.01	429.21	-36091.25	755271	-524907	-	-	-
4-9	1400.01	-429.21	-36125.25	471867	-1493302	-	-	-
4-10	1400.01	-429.21	-36125.25	471864	-1493382	-	-	-
4-11	1400.01	429.21	-36120.25	753352	-1493031	-	-	-
4-12	1400.01	429.21	-36120.25	753349	-1493112	-	-	-
4-13	1400.01	-429.21	-36125.25	471870	-1493240	-	-	-
4-14	1400.01	-429.21	-36125.25	471866	-1493320	-	-	-
4-15	1400.01	429.21	-36120.25	753355	-1492969	-	-	-
4-16	1400.01	429.21	-36120.25	753352	-1493050	-	-	-
5-1	-420	-1430.7	-36111.25	144720	-864209	-	-	-
5-2	-420	-1430.7	-36111.25	144721	-864190	-	-	-
5-3	420	-1430.7	-36120.25	144144	-1154652	-	-	-
5-4	420	-1430.7	-36120.25	144145	-1154633	-	-	-
5-5	-420	-1430.7	-36110.25	144709	-864477	-	-	-
5-6	-420	-1430.7	-36110.25	144709	-864459	-	-	-
5-7	420	-1430.7	-36119.25	144133	-1154920	-	-	-
5-8	420	-1430.7	-36119.25	144134	-1154902	-	-	-
5-9	-420	1430.7	-36096.25	1083004	-863307	-	-	-
5-10	-420	1430.7	-36096.25	1083005	-863288	-	-	-
5-11	420	1430.7	-36105.25	1082428	-1153750	-	-	-
5-12	420	1430.7	-36105.25	1082429	-1153731	-	-	-
5-13	-420	1430.7	-36096.25	1082993	-863575	-	-	-
5-14	-420	1430.7	-36096.25	1082993	-863557	-	-	-
5-15	420	1430.7	-36105.25	1082417	-1154018	-	-	-
5-16	420	1430.7	-36105.25	1082418	-1153999	-	-	-
6-1	-1540.01	-472.13	-36094.25	459807	-476764	-	-	-
6-2	-1540.01	-472.13	-36094.25	459804	-476853	-	-	-
6-3	-1540.01	472.13	-36089.25	769442	-476466	-	-	-



6-4	-1540.01	472.13	-36089.25	769438	-476555	-	-	-
6-5	-1540.01	-472.13	-36094.25	459810	-476696	-	-	-
6-6	-1540.01	-472.13	-36094.25	459807	-476785	-	-	-
6-7	-1540.01	472.13	-36089.25	769445	-476398	-	-	-
6-8	-1540.01	472.13	-36089.25	769441	-476487	-	-	-
6-9	1540.01	-472.13	-36126.25	457697	-1541722	-	-	-
6-10	1540.01	-472.13	-36126.25	457693	-1541810	-	-	-
6-11	1540.01	472.13	-36122.25	767331	-1541424	-	-	-
6-12	1540.01	472.13	-36121.25	767327	-1541512	-	-	-
6-13	1540.01	-472.13	-36126.25	457700	-1541654	-	-	-
6-14	1540.01	-472.13	-36126.25	457696	-1541742	-	-	-
6-15	1540.01	472.13	-36122.25	767334	-1541356	-	-	-
6-16	1540.01	472.13	-36122.25	767330	-1541444	-	-	-
7-1	-462	-1573.77	-36111.25	97835	-849720	-	-	-
7-2	-462	-1573.77	-36111.25	97836	-849699	-	-	-
7-3	462	-1573.77	-36121.25	97202	-1169207	-	-	-
7-4	462	-1573.77	-36121.25	97203	-1169186	-	-	-
7-5	-462	-1573.77	-36111.25	97823	-850015	-	-	-
7-6	-462	-1573.77	-36111.25	97824	-849994	-	-	-
7-7	462	-1573.77	-36120.25	97190	-1169502	-	-	-
7-8	462	-1573.77	-36120.25	97191	-1169482	-	-	-
7-9	-462	1573.77	-36095.25	1129947	-848727	-	-	-
7-10	-462	1573.77	-36095.25	1129948	-848707	-	-	-
7-11	462	1573.77	-36105.25	1129314	-1168214	-	-	-
7-12	462	1573.77	-36105.25	1129315	-1168194	-	-	-
7-13	-462	1573.77	-36095.25	1129935	-849022	-	-	-
7-14	-462	1573.77	-36095.25	1129936	-849002	-	-	-
7-15	462	1573.77	-36104.25	1129301	-1168509	-	-	-
7-16	462	1573.77	-36104.25	1129302	-1168489	-	-	-

Le sollecitazioni applicate provocano un' eccentricità lungo X (max = 42.68 [cm]) e lungo Y (max = 31.3 [cm]), perciò le verifiche vengono eseguite sulla fondazione ridotta rettangolare.

Caso	ecc. X [cm]	ecc. Y [cm]	Asse B	Asse L
1-1	29.38	17.54	asse Y	asse X
2-1	29.38	17.54	asse Y	asse X
3-1	29.38	6.33	asse Y	asse X
3-2	29.38	28.76	asse Y	asse X
4-1	14.55	13.13	asse Y	asse X
4-2	14.55	13.13	asse Y	asse X
4-3	14.54	20.93	asse Y	asse X
4-4	14.55	20.93	asse Y	asse X
4-5	14.55	13.13	asse Y	asse X
4-6	14.55	13.13	asse Y	asse X
4-7	14.54	20.93	asse Y	asse X
4-8	14.54	20.93	asse Y	asse X
4-9	41.34	13.06	asse Y	asse X
4-10	41.34	13.06	asse Y	asse X



4-11	41.34	20.86	asse Y	asse X
4-12	41.34	20.86	asse Y	asse X
4-13	41.34	13.06	asse Y	asse X
4-14	41.34	13.06	asse Y	asse X
4-15	41.33	20.86	asse Y	asse X
4-16	41.34	20.86	asse Y	asse X
5-1	23.93	4.01	asse Y	asse X
5-2	23.93	4.01	asse Y	asse X
5-3	31.97	3.99	asse Y	asse X
5-4	31.97	3.99	asse Y	asse X
5-5	23.94	4.01	asse Y	asse X
5-6	23.94	4.01	asse Y	asse X
5-7	31.98	3.99	asse Y	asse X
5-8	31.97	3.99	asse Y	asse X
5-9	23.92	30	asse Y	asse X
5-10	23.92	30	asse Y	asse X
5-11	31.96	29.98	asse Y	asse X
5-12	31.95	29.98	asse Y	asse X
5-13	23.92	30	asse Y	asse X
5-14	23.92	30	asse Y	asse X
5-15	31.96	29.98	asse Y	asse X
5-16	31.96	29.98	asse Y	asse X
6-1	13.21	12.74	asse Y	asse X
6-2	13.21	12.74	asse Y	asse X
6-3	13.2	21.32	asse Y	asse X
6-4	13.2	21.32	asse Y	asse X
6-5	13.21	12.74	asse Y	asse X
6-6	13.21	12.74	asse Y	asse X
6-7	13.2	21.32	asse Y	asse X
6-8	13.2	21.32	asse Y	asse X
6-9	42.68	12.67	asse Y	asse X
6-10	42.68	12.67	asse Y	asse X
6-11	42.67	21.24	asse Y	asse X
6-12	42.68	21.24	asse Y	asse X
6-13	42.67	12.67	asse Y	asse X
6-14	42.68	12.67	asse Y	asse X
6-15	42.67	21.24	asse Y	asse X
6-16	42.67	21.24	asse Y	asse X
7-1	23.53	2.71	asse Y	asse X
7-2	23.53	2.71	asse Y	asse X
7-3	32.37	2.69	asse Y	asse X
7-4	32.37	2.69	asse Y	asse X
7-5	23.54	2.71	asse Y	asse X
7-6	23.54	2.71	asse Y	asse X
7-7	32.38	2.69	asse Y	asse X



7-8	32.38	2.69	asse Y	asse X
7-9	23.51	31.3	asse Y	asse X
7-10	23.51	31.3	asse Y	asse X
7-11	32.36	31.28	asse Y	asse X
7-12	32.36	31.28	asse Y	asse X
7-13	23.52	31.3	asse Y	asse X
7-14	23.52	31.3	asse Y	asse X
7-15	32.36	31.28	asse Y	asse X
7-16	32.36	31.28	asse Y	asse X

6.5.2. Capacità portante.

Le seguenti tabelle elencano il valore dell'angolo di resistenza al taglio, del peso di volume alleggerito, della coesione efficace, del sovraccarico alleggerito, e dei fattori e coefficienti introdotti nel calcolo della capacità portante.

Caso	γ_ϕ	γ_γ	ϕ [°]	γ' [daN/m³]	N_γ	s_γ	d_γ	i_{by}	i_{ly}	b_γ	g_γ	h_γ	$q'_{lim,\gamma}$ [daN/cm²]
1-1	1.00	1.00	28	1700	16.72	1.07	1.00	1.00	1.00	1.00	1.00	-	3.69
2-1	1.00	1.00	28	1700	16.72	1.07	1.00	1.00	1.00	1.00	1.00	-	3.69
3-1	1.00	1.00	28	1700	16.72	1.07	1.00	0.91	1.00	1.00	1.00	-	3.7
3-2	1.00	1.00	28	1700	16.72	1.06	1.00	0.91	1.00	1.00	1.00	-	3.04
4-1	1.00	1.00	28	1700	16.72	1.07	1.00	0.97	0.92	1.00	1.00	0.77	2.62
4-2	1.00	1.00	28	1700	16.72	1.07	1.00	0.97	0.92	1.00	1.00	0.77	2.62
4-3	1.00	1.00	28	1700	16.72	1.06	1.00	0.97	0.92	1.00	1.00	0.77	2.45
4-4	1.00	1.00	28	1700	16.72	1.06	1.00	0.97	0.92	1.00	1.00	0.77	2.45
4-5	1.00	1.00	28	1700	16.72	1.07	1.00	0.97	0.92	1.00	1.00	0.77	2.62
4-6	1.00	1.00	28	1700	16.72	1.07	1.00	0.97	0.92	1.00	1.00	0.77	2.62
4-7	1.00	1.00	28	1700	16.72	1.06	1.00	0.97	0.92	1.00	1.00	0.77	2.45
4-8	1.00	1.00	28	1700	16.72	1.06	1.00	0.97	0.92	1.00	1.00	0.77	2.45
4-9	1.00	1.00	28	1700	16.72	1.07	1.00	0.97	0.92	1.00	1.00	0.77	2.63
4-10	1.00	1.00	28	1700	16.72	1.07	1.00	0.97	0.92	1.00	1.00	0.77	2.63
4-11	1.00	1.00	28	1700	16.72	1.07	1.00	0.97	0.92	1.00	1.00	0.77	2.46
4-12	1.00	1.00	28	1700	16.72	1.07	1.00	0.97	0.92	1.00	1.00	0.77	2.46
4-13	1.00	1.00	28	1700	16.72	1.07	1.00	0.97	0.92	1.00	1.00	0.77	2.63
4-14	1.00	1.00	28	1700	16.72	1.07	1.00	0.97	0.92	1.00	1.00	0.77	2.63
4-15	1.00	1.00	28	1700	16.72	1.07	1.00	0.97	0.92	1.00	1.00	0.77	2.46
4-16	1.00	1.00	28	1700	16.72	1.07	1.00	0.97	0.92	1.00	1.00	0.77	2.46
5-1	1.00	1.00	28	1700	16.72	1.07	1.00	0.89	0.97	1.00	1.00	0.77	2.77
5-2	1.00	1.00	28	1700	16.72	1.07	1.00	0.89	0.97	1.00	1.00	0.77	2.77
5-3	1.00	1.00	28	1700	16.72	1.07	1.00	0.89	0.97	1.00	1.00	0.77	2.78
5-4	1.00	1.00	28	1700	16.72	1.07	1.00	0.89	0.97	1.00	1.00	0.77	2.78
5-5	1.00	1.00	28	1700	16.72	1.07	1.00	0.89	0.97	1.00	1.00	0.77	2.77
5-6	1.00	1.00	28	1700	16.72	1.07	1.00	0.89	0.97	1.00	1.00	0.77	2.77
5-7	1.00	1.00	28	1700	16.72	1.07	1.00	0.89	0.97	1.00	1.00	0.77	2.78
5-8	1.00	1.00	28	1700	16.72	1.07	1.00	0.89	0.97	1.00	1.00	0.77	2.78
5-9	1.00	1.00	28	1700	16.72	1.06	1.00	0.89	0.97	1.00	1.00	0.77	2.21
5-10	1.00	1.00	28	1700	16.72	1.06	1.00	0.89	0.97	1.00	1.00	0.77	2.21
5-11	1.00	1.00	28	1700	16.72	1.06	1.00	0.89	0.97	1.00	1.00	0.77	2.21



5-12	1.00	1.00	28	1700	16.72	1.06	1.00	0.89	0.97	1.00	1.00	0.77	2.21
5-13	1.00	1.00	28	1700	16.72	1.06	1.00	0.89	0.97	1.00	1.00	0.77	2.21
5-14	1.00	1.00	28	1700	16.72	1.06	1.00	0.89	0.97	1.00	1.00	0.77	2.21
5-15	1.00	1.00	28	1700	16.72	1.06	1.00	0.89	0.97	1.00	1.00	0.77	2.21
5-16	1.00	1.00	28	1700	16.72	1.06	1.00	0.89	0.97	1.00	1.00	0.77	2.21
6-1	1.00	1.00	28	1700	16.72	1.07	1.00	0.96	0.91	1.00	1.00	0.77	2.6
6-2	1.00	1.00	28	1700	16.72	1.07	1.00	0.96	0.91	1.00	1.00	0.77	2.6
6-3	1.00	1.00	28	1700	16.72	1.06	1.00	0.96	0.91	1.00	1.00	0.77	2.41
6-4	1.00	1.00	28	1700	16.72	1.06	1.00	0.96	0.91	1.00	1.00	0.77	2.41
6-5	1.00	1.00	28	1700	16.72	1.07	1.00	0.96	0.91	1.00	1.00	0.77	2.6
6-6	1.00	1.00	28	1700	16.72	1.07	1.00	0.96	0.91	1.00	1.00	0.77	2.6
6-7	1.00	1.00	28	1700	16.72	1.06	1.00	0.96	0.91	1.00	1.00	0.77	2.41
6-8	1.00	1.00	28	1700	16.72	1.06	1.00	0.96	0.91	1.00	1.00	0.77	2.41
6-9	1.00	1.00	28	1700	16.72	1.07	1.00	0.96	0.91	1.00	1.00	0.77	2.61
6-10	1.00	1.00	28	1700	16.72	1.07	1.00	0.96	0.91	1.00	1.00	0.77	2.61
6-11	1.00	1.00	28	1700	16.72	1.07	1.00	0.96	0.91	1.00	1.00	0.77	2.42
6-12	1.00	1.00	28	1700	16.72	1.07	1.00	0.96	0.91	1.00	1.00	0.77	2.42
6-13	1.00	1.00	28	1700	16.72	1.07	1.00	0.96	0.91	1.00	1.00	0.77	2.61
6-14	1.00	1.00	28	1700	16.72	1.07	1.00	0.96	0.91	1.00	1.00	0.77	2.61
6-15	1.00	1.00	28	1700	16.72	1.07	1.00	0.96	0.91	1.00	1.00	0.77	2.42
6-16	1.00	1.00	28	1700	16.72	1.07	1.00	0.96	0.91	1.00	1.00	0.77	2.42
7-1	1.00	1.00	28	1700	16.72	1.07	1.00	0.88	0.97	1.00	1.00	0.77	2.76
7-2	1.00	1.00	28	1700	16.72	1.07	1.00	0.88	0.97	1.00	1.00	0.77	2.76
7-3	1.00	1.00	28	1700	16.72	1.08	1.00	0.88	0.97	1.00	1.00	0.77	2.77
7-4	1.00	1.00	28	1700	16.72	1.08	1.00	0.88	0.97	1.00	1.00	0.77	2.77
7-5	1.00	1.00	28	1700	16.72	1.07	1.00	0.88	0.97	1.00	1.00	0.77	2.76
7-6	1.00	1.00	28	1700	16.72	1.07	1.00	0.88	0.97	1.00	1.00	0.77	2.76
7-7	1.00	1.00	28	1700	16.72	1.08	1.00	0.88	0.97	1.00	1.00	0.77	2.77
7-8	1.00	1.00	28	1700	16.72	1.08	1.00	0.88	0.97	1.00	1.00	0.77	2.77
7-9	1.00	1.00	28	1700	16.72	1.06	1.00	0.88	0.97	1.00	1.00	0.77	2.15
7-10	1.00	1.00	28	1700	16.72	1.06	1.00	0.88	0.97	1.00	1.00	0.77	2.15
7-11	1.00	1.00	28	1700	16.72	1.06	1.00	0.88	0.97	1.00	1.00	0.77	2.15
7-12	1.00	1.00	28	1700	16.72	1.06	1.00	0.88	0.97	1.00	1.00	0.77	2.15
7-13	1.00	1.00	28	1700	16.72	1.06	1.00	0.88	0.97	1.00	1.00	0.77	2.15
7-14	1.00	1.00	28	1700	16.72	1.06	1.00	0.88	0.97	1.00	1.00	0.77	2.15
7-15	1.00	1.00	28	1700	16.72	1.06	1.00	0.88	0.97	1.00	1.00	0.77	2.15
7-16	1.00	1.00	28	1700	16.72	1.06	1.00	0.88	0.97	1.00	1.00	0.77	2.15

Caso	γ_c'	$c' [daN/cm^2]$	N_c	s_c	d_c	i_{bc}	i_{lc}	b_c	g_c	h_c	$q'_{lim,c} [daN/cm^2]$
1-1	1.00	0		25.80	1.13	1.05	1.00	1.00	1.00	-	0
2-1	1.00	0		25.80	1.13	1.05	1.00	1.00	1.00	1.00	-
3-1	1.00	0		25.80	1.15	1.05	0.94	1.00	1.00	1.00	-
3-2	1.00	0		25.80	1.12	1.06	0.94	1.00	1.00	1.00	-
4-1	1.00	0		25.80	1.13	1.05	0.98	0.95	1.00	1.00	0.91
4-2	1.00	0		25.80	1.13	1.05	0.98	0.95	1.00	1.00	0.91
4-3	1.00	0		25.80	1.13	1.05	0.98	0.95	1.00	1.00	0.91



4-4	1.00	0	25.80	1.13	1.05	0.98	0.95	1.00	1.00	0.91	0
4-5	1.00	0	25.80	1.13	1.05	0.98	0.95	1.00	1.00	0.91	0
4-6	1.00	0	25.80	1.13	1.05	0.98	0.95	1.00	1.00	0.91	0
4-7	1.00	0	25.80	1.13	1.05	0.98	0.95	1.00	1.00	0.91	0
4-8	1.00	0	25.80	1.13	1.05	0.98	0.95	1.00	1.00	0.91	0
4-9	1.00	0	25.80	1.14	1.05	0.98	0.95	1.00	1.00	0.91	0
4-10	1.00	0	25.80	1.14	1.05	0.98	0.95	1.00	1.00	0.91	0
4-11	1.00	0	25.80	1.13	1.05	0.98	0.95	1.00	1.00	0.91	0
4-12	1.00	0	25.80	1.13	1.05	0.98	0.95	1.00	1.00	0.91	0
4-13	1.00	0	25.80	1.14	1.05	0.98	0.95	1.00	1.00	0.91	0
4-14	1.00	0	25.80	1.14	1.05	0.98	0.95	1.00	1.00	0.91	0
4-15	1.00	0	25.80	1.13	1.05	0.98	0.95	1.00	1.00	0.91	0
4-16	1.00	0	25.80	1.13	1.05	0.98	0.95	1.00	1.00	0.91	0
5-1	1.00	0	25.80	1.15	1.05	0.93	0.98	1.00	1.00	0.91	0
5-2	1.00	0	25.80	1.15	1.05	0.93	0.98	1.00	1.00	0.91	0
5-3	1.00	0	25.80	1.15	1.05	0.93	0.98	1.00	1.00	0.91	0
5-4	1.00	0	25.80	1.15	1.05	0.93	0.98	1.00	1.00	0.91	0
5-5	1.00	0	25.80	1.15	1.05	0.93	0.98	1.00	1.00	0.91	0
5-6	1.00	0	25.80	1.15	1.05	0.93	0.98	1.00	1.00	0.91	0
5-7	1.00	0	25.80	1.15	1.05	0.93	0.98	1.00	1.00	0.91	0
5-8	1.00	0	25.80	1.15	1.05	0.93	0.98	1.00	1.00	0.91	0
5-9	1.00	0	25.80	1.12	1.06	0.92	0.99	1.00	1.00	0.91	0
5-10	1.00	0	25.80	1.12	1.06	0.92	0.99	1.00	1.00	0.91	0
5-11	1.00	0	25.80	1.12	1.06	0.92	0.99	1.00	1.00	0.91	0
5-12	1.00	0	25.80	1.12	1.06	0.92	0.99	1.00	1.00	0.91	0
5-13	1.00	0	25.80	1.12	1.06	0.92	0.99	1.00	1.00	0.91	0
5-14	1.00	0	25.80	1.12	1.06	0.92	0.99	1.00	1.00	0.91	0
5-15	1.00	0	25.80	1.12	1.06	0.92	0.99	1.00	1.00	0.91	0
5-16	1.00	0	25.80	1.12	1.06	0.92	0.99	1.00	1.00	0.91	0
6-1	1.00	0	25.80	1.13	1.05	0.97	0.95	1.00	1.00	0.91	0
6-2	1.00	0	25.80	1.13	1.05	0.97	0.95	1.00	1.00	0.91	0
6-3	1.00	0	25.80	1.12	1.05	0.97	0.95	1.00	1.00	0.91	0
6-4	1.00	0	25.80	1.12	1.05	0.97	0.95	1.00	1.00	0.91	0
6-5	1.00	0	25.80	1.13	1.05	0.97	0.95	1.00	1.00	0.91	0
6-6	1.00	0	25.80	1.13	1.05	0.97	0.95	1.00	1.00	0.91	0
6-7	1.00	0	25.80	1.12	1.05	0.97	0.95	1.00	1.00	0.91	0
6-8	1.00	0	25.80	1.12	1.05	0.97	0.95	1.00	1.00	0.91	0
6-9	1.00	0	25.80	1.14	1.05	0.97	0.95	1.00	1.00	0.91	0
6-10	1.00	0	25.80	1.14	1.05	0.97	0.95	1.00	1.00	0.91	0
6-11	1.00	0	25.80	1.13	1.05	0.97	0.95	1.00	1.00	0.91	0
6-12	1.00	0	25.80	1.13	1.05	0.97	0.95	1.00	1.00	0.91	0
6-13	1.00	0	25.80	1.14	1.05	0.97	0.95	1.00	1.00	0.91	0
6-14	1.00	0	25.80	1.14	1.05	0.97	0.95	1.00	1.00	0.91	0
6-15	1.00	0	25.80	1.13	1.05	0.97	0.95	1.00	1.00	0.91	0
6-16	1.00	0	25.80	1.13	1.05	0.97	0.95	1.00	1.00	0.91	0



7-1	1.00	0	25.80	1.15	1.05	0.92	0.98	1.00	1.00	0.91	0
7-2	1.00	0	25.80	1.15	1.05	0.92	0.98	1.00	1.00	0.91	0
7-3	1.00	0	25.80	1.15	1.05	0.92	0.98	1.00	1.00	0.91	0
7-4	1.00	0	25.80	1.15	1.05	0.92	0.98	1.00	1.00	0.91	0
7-5	1.00	0	25.80	1.15	1.05	0.92	0.98	1.00	1.00	0.91	0
7-6	1.00	0	25.80	1.15	1.05	0.92	0.98	1.00	1.00	0.91	0
7-7	1.00	0	25.80	1.15	1.05	0.92	0.98	1.00	1.00	0.91	0
7-8	1.00	0	25.80	1.15	1.05	0.92	0.98	1.00	1.00	0.91	0
7-9	1.00	0	25.80	1.12	1.06	0.92	0.98	1.00	1.00	0.91	0
7-10	1.00	0	25.80	1.12	1.06	0.92	0.98	1.00	1.00	0.91	0
7-11	1.00	0	25.80	1.12	1.06	0.92	0.98	1.00	1.00	0.91	0
7-12	1.00	0	25.80	1.12	1.06	0.92	0.98	1.00	1.00	0.91	0
7-13	1.00	0	25.80	1.12	1.06	0.92	0.98	1.00	1.00	0.91	0
7-14	1.00	0	25.80	1.12	1.06	0.92	0.98	1.00	1.00	0.91	0
7-15	1.00	0	25.80	1.12	1.06	0.92	0.98	1.00	1.00	0.91	0
7-16	1.00	0	25.80	1.12	1.06	0.92	0.98	1.00	1.00	0.91	0

Caso	q' [daN/cm ²]	N_q	s_q	d_q	i_{bq}	i_{lq}	b_q	g_q	h_q	$q'_{lim,q}$ [daN/cm ²]
1-1	0.07	14.72	1.07	1.05	1.00	1.00	1.00	1.00	-	1.12
2-1	0.07	14.72	1.07	1.05	1.00	1.00	1.00	1.00	-	1.12
3-1	0.07	14.72	1.07	1.05	0.94	1.00	1.00	1.00	-	1.06
3-2	0.07	14.72	1.06	1.05	0.94	1.00	1.00	1.00	-	1.05
4-1	0.07	14.72	1.07	1.05	0.98	0.95	1.00	1.00	0.87	0.91
4-2	0.07	14.72	1.07	1.05	0.98	0.95	1.00	1.00	0.87	0.91
4-3	0.07	14.72	1.06	1.05	0.98	0.95	1.00	1.00	0.87	0.91
4-4	0.07	14.72	1.06	1.05	0.98	0.95	1.00	1.00	0.87	0.91
4-5	0.07	14.72	1.07	1.05	0.98	0.95	1.00	1.00	0.87	0.91
4-6	0.07	14.72	1.07	1.05	0.98	0.95	1.00	1.00	0.87	0.91
4-7	0.07	14.72	1.06	1.05	0.98	0.95	1.00	1.00	0.87	0.91
4-8	0.07	14.72	1.06	1.05	0.98	0.95	1.00	1.00	0.87	0.91
4-9	0.07	14.72	1.07	1.05	0.98	0.95	1.00	1.00	0.87	0.91
4-10	0.07	14.72	1.07	1.05	0.98	0.95	1.00	1.00	0.87	0.91
4-11	0.07	14.72	1.07	1.05	0.98	0.95	1.00	1.00	0.87	0.91
4-12	0.07	14.72	1.07	1.05	0.98	0.95	1.00	1.00	0.87	0.91
4-13	0.07	14.72	1.07	1.05	0.98	0.95	1.00	1.00	0.87	0.91
4-14	0.07	14.72	1.07	1.05	0.98	0.95	1.00	1.00	0.87	0.91
4-15	0.07	14.72	1.07	1.05	0.98	0.95	1.00	1.00	0.87	0.91
4-16	0.07	14.72	1.07	1.05	0.98	0.95	1.00	1.00	0.87	0.91
5-1	0.07	14.72	1.07	1.04	0.93	0.99	1.00	1.00	0.87	0.9
5-2	0.07	14.72	1.07	1.04	0.93	0.99	1.00	1.00	0.87	0.9
5-3	0.07	14.72	1.07	1.04	0.93	0.99	1.00	1.00	0.87	0.9
5-4	0.07	14.72	1.07	1.04	0.93	0.99	1.00	1.00	0.87	0.9
5-5	0.07	14.72	1.07	1.04	0.93	0.99	1.00	1.00	0.87	0.9
5-6	0.07	14.72	1.07	1.04	0.93	0.99	1.00	1.00	0.87	0.9
5-7	0.07	14.72	1.07	1.04	0.93	0.99	1.00	1.00	0.87	0.9
5-8	0.07	14.72	1.07	1.04	0.93	0.99	1.00	1.00	0.87	0.9



5-9	0.07	14.72	1.06	1.05	0.93	0.99	1.00	1.00	0.87	0.89
5-10	0.07	14.72	1.06	1.05	0.93	0.99	1.00	1.00	0.87	0.89
5-11	0.07	14.72	1.06	1.05	0.93	0.99	1.00	1.00	0.87	0.89
5-12	0.07	14.72	1.06	1.05	0.93	0.99	1.00	1.00	0.87	0.89
5-13	0.07	14.72	1.06	1.05	0.93	0.99	1.00	1.00	0.87	0.89
5-14	0.07	14.72	1.06	1.05	0.93	0.99	1.00	1.00	0.87	0.89
5-15	0.07	14.72	1.06	1.05	0.93	0.99	1.00	1.00	0.87	0.89
5-16	0.07	14.72	1.06	1.05	0.93	0.99	1.00	1.00	0.87	0.89
6-1	0.07	14.72	1.07	1.05	0.98	0.95	1.00	1.00	0.87	0.9
6-2	0.07	14.72	1.07	1.05	0.98	0.95	1.00	1.00	0.87	0.9
6-3	0.07	14.72	1.06	1.05	0.98	0.95	1.00	1.00	0.87	0.9
6-4	0.07	14.72	1.06	1.05	0.98	0.95	1.00	1.00	0.87	0.9
6-5	0.07	14.72	1.07	1.05	0.98	0.95	1.00	1.00	0.87	0.9
6-6	0.07	14.72	1.07	1.05	0.98	0.95	1.00	1.00	0.87	0.9
6-7	0.07	14.72	1.06	1.05	0.98	0.95	1.00	1.00	0.87	0.9
6-8	0.07	14.72	1.06	1.05	0.98	0.95	1.00	1.00	0.87	0.9
6-9	0.07	14.72	1.07	1.05	0.98	0.95	1.00	1.00	0.87	0.91
6-10	0.07	14.72	1.07	1.05	0.98	0.95	1.00	1.00	0.87	0.91
6-11	0.07	14.72	1.07	1.05	0.98	0.95	1.00	1.00	0.87	0.91
6-12	0.07	14.72	1.07	1.05	0.98	0.95	1.00	1.00	0.87	0.91
6-13	0.07	14.72	1.07	1.05	0.98	0.95	1.00	1.00	0.87	0.91
6-14	0.07	14.72	1.07	1.05	0.98	0.95	1.00	1.00	0.87	0.91
6-15	0.07	14.72	1.07	1.05	0.98	0.95	1.00	1.00	0.87	0.91
6-16	0.07	14.72	1.07	1.05	0.98	0.95	1.00	1.00	0.87	0.91
7-1	0.07	14.72	1.07	1.04	0.92	0.98	1.00	1.00	0.87	0.89
7-2	0.07	14.72	1.07	1.04	0.92	0.98	1.00	1.00	0.87	0.89
7-3	0.07	14.72	1.08	1.04	0.92	0.98	1.00	1.00	0.87	0.89
7-4	0.07	14.72	1.08	1.04	0.92	0.98	1.00	1.00	0.87	0.89
7-5	0.07	14.72	1.07	1.04	0.92	0.98	1.00	1.00	0.87	0.89
7-6	0.07	14.72	1.07	1.04	0.92	0.98	1.00	1.00	0.87	0.89
7-7	0.07	14.72	1.08	1.04	0.92	0.98	1.00	1.00	0.87	0.89
7-8	0.07	14.72	1.08	1.04	0.92	0.98	1.00	1.00	0.87	0.89
7-9	0.07	14.72	1.06	1.06	0.92	0.98	1.00	1.00	0.87	0.89
7-10	0.07	14.72	1.06	1.06	0.92	0.98	1.00	1.00	0.87	0.89
7-11	0.07	14.72	1.06	1.06	0.92	0.98	1.00	1.00	0.87	0.89
7-12	0.07	14.72	1.06	1.06	0.92	0.98	1.00	1.00	0.87	0.89
7-13	0.07	14.72	1.06	1.06	0.92	0.98	1.00	1.00	0.87	0.89
7-14	0.07	14.72	1.06	1.06	0.92	0.98	1.00	1.00	0.87	0.89
7-15	0.07	14.72	1.06	1.06	0.92	0.98	1.00	1.00	0.87	0.89
7-16	0.07	14.72	1.06	1.06	0.92	0.98	1.00	1.00	0.87	0.89

Segue il confronto fra la pressione limite ed applicata.

Caso	$\gamma_{R;v}$	q'_{lim} [daN/cm ²]	A [cm ²]	R _d [daN]	E _d [daN]	Verifica
1-1	2.30	2.13	246895.58	525704.4	54173.9	SI ($525704.4/54173.9 = 9.70 \geq 1.0$)
2-1	2.30	2.13	246895.58	525704.4	54173.9	SI ($525704.4/54173.9 = 9.70 \geq 1.0$)
3-1	2.30	2.11	269634.78	567896.6	54183.9	SI ($567896.6/54183.9 = 10.48 \geq 1.0$)



3-2	2.30	1.82	224149.17	407208.1	54164.9	SI (407208.1/54164.9 = 7.52 >= 1.0)
4-1	2.30	1.57	263335.11	414366.5	36095.3	SI (414366.5/36095.3 = 11.48 >= 1.0)
4-2	2.30	1.57	263334.17	414365.4	36095.3	SI (414365.4/36095.3 = 11.48 >= 1.0)
4-3	2.30	1.5	247051.57	370317.2	36091.3	SI (370317.2/36091.3 = 10.26 >= 1.0)
4-4	2.30	1.5	247050.68	370316.2	36091.3	SI (370316.2/36091.3 = 10.26 >= 1.0)
4-5	2.30	1.57	263335.81	414367.3	36095.3	SI (414367.3/36095.3 = 11.48 >= 1.0)
4-6	2.30	1.57	263334.92	414366.3	36095.3	SI (414366.3/36095.3 = 11.48 >= 1.0)
4-7	2.30	1.5	247052.2	370317.9	36091.3	SI (370317.9/36091.3 = 10.26 >= 1.0)
4-8	2.30	1.5	247051.32	370316.9	36091.3	SI (370316.9/36091.3 = 10.26 >= 1.0)
4-9	2.30	1.58	249947.05	394702.6	36125.3	SI (394702.6/36125.3 = 10.93 >= 1.0)
4-10	2.30	1.58	249946.09	394701.4	36125.3	SI (394701.4/36125.3 = 10.93 >= 1.0)
4-11	2.30	1.5	234509.1	352722.1	36120.3	SI (352722.1/36120.3 = 9.77 >= 1.0)
4-12	2.30	1.5	234508.2	352721	36120.3	SI (352721/36120.3 = 9.77 >= 1.0)
4-13	2.30	1.58	249947.75	394703.4	36125.3	SI (394703.4/36125.3 = 10.93 >= 1.0)
4-14	2.30	1.58	249946.85	394702.4	36125.3	SI (394702.4/36125.3 = 10.93 >= 1.0)
4-15	2.30	1.5	234509.75	352722.8	36120.3	SI (352722.8/36120.3 = 9.77 >= 1.0)
4-16	2.30	1.5	234508.85	352721.7	36120.3	SI (352721.7/36120.3 = 9.77 >= 1.0)
5-1	2.30	1.63	277296.56	453313.2	36111.3	SI (453313.2/36111.3 = 12.55 >= 1.0)
5-2	2.30	1.63	277296.79	453313.5	36111.3	SI (453313.5/36111.3 = 12.55 >= 1.0)
5-3	2.30	1.64	272983.85	446827.2	36120.3	SI (446827.2/36120.3 = 12.37 >= 1.0)
5-4	2.30	1.64	272984.08	446827.5	36120.3	SI (446827.5/36120.3 = 12.37 >= 1.0)
5-5	2.30	1.63	277292.59	453306.2	36110.3	SI (453306.2/36110.3 = 12.55 >= 1.0)
5-6	2.30	1.63	277292.86	453306.6	36110.3	SI (453306.6/36110.3 = 12.55 >= 1.0)
5-7	2.30	1.64	272979.75	446820	36119.3	SI (446820/36119.3 = 12.37 >= 1.0)
5-8	2.30	1.64	272979.96	446820.3	36119.3	SI (446820.3/36119.3 = 12.37 >= 1.0)
5-9	2.30	1.39	224005.05	310818.6	36096.3	SI (310818.6/36096.3 = 8.61 >= 1.0)
5-10	2.30	1.39	224005.23	310818.8	36096.3	SI (310818.8/36096.3 = 8.61 >= 1.0)
5-11	2.30	1.39	220539.47	306351.7	36105.3	SI (306351.7/36105.3 = 8.48 >= 1.0)
5-12	2.30	1.39	220539.65	306351.9	36105.3	SI (306351.9/36105.3 = 8.48 >= 1.0)
5-13	2.30	1.39	224002.43	310815.9	36096.3	SI (310815.9/36096.3 = 8.61 >= 1.0)
5-14	2.30	1.39	224002.65	310816.2	36096.3	SI (310816.2/36096.3 = 8.61 >= 1.0)
5-15	2.30	1.39	220536.84	306349	36105.3	SI (306349/36105.3 = 8.48 >= 1.0)
5-16	2.30	1.39	220537.02	306349.1	36105.3	SI (306349.1/36105.3 = 8.48 >= 1.0)
6-1	2.30	1.56	264821.26	413209.8	36094.3	SI (413209.8/36094.3 = 11.45 >= 1.0)
6-2	2.30	1.56	264820.19	413208.4	36094.3	SI (413208.4/36094.3 = 11.45 >= 1.0)
6-3	2.30	1.48	246861.91	365194.6	36089.3	SI (365194.6/36089.3 = 10.12 >= 1.0)
6-4	2.30	1.48	246860.98	365193.6	36089.3	SI (365193.6/36089.3 = 10.12 >= 1.0)
6-5	2.30	1.56	264822.04	413210.7	36094.3	SI (413210.7/36094.3 = 11.45 >= 1.0)
6-6	2.30	1.56	264820.97	413209.3	36094.3	SI (413209.3/36094.3 = 11.45 >= 1.0)
6-7	2.30	1.48	246862.62	365195.4	36089.3	SI (365195.4/36089.3 = 10.12 >= 1.0)
6-8	2.30	1.48	246861.69	365194.4	36089.3	SI (365194.4/36089.3 = 10.12 >= 1.0)
6-9	2.30	1.57	250046.56	391681.2	36126.3	SI (391681.2/36126.3 = 10.84 >= 1.0)
6-10	2.30	1.57	250045.54	391680	36126.3	SI (391680/36126.3 = 10.84 >= 1.0)
6-11	2.30	1.48	233113.57	346151.4	36122.3	SI (346151.4/36122.3 = 9.58 >= 1.0)
6-12	2.30	1.48	233110.92	346145.5	36121.3	SI (346145.5/36121.3 = 9.58 >= 1.0)



6-13	2.30	1.57		250047.35	391682.2	36126.3	SI (391682.2/36126.3 = 10.84 >= 1.0)
6-14	2.30	1.57		250046.33	391680.9	36126.3	SI (391680.9/36126.3 = 10.84 >= 1.0)
6-15	2.30	1.48		233114.29	346152.2	36122.3	SI (346152.2/36122.3 = 9.58 >= 1.0)
6-16	2.30	1.48		233113.36	346151.2	36122.3	SI (346151.2/36122.3 = 9.58 >= 1.0)
7-1	2.30	1.63		280177.7	455760.3	36111.3	SI (455760.3/36111.3 = 12.62 >= 1.0)
7-2	2.30	1.63		280177.96	455760.6	36111.3	SI (455760.6/36111.3 = 12.62 >= 1.0)
7-3	2.30	1.63		275387.16	448599.7	36121.3	SI (448599.7/36121.3 = 12.42 >= 1.0)
7-4	2.30	1.63		275387.42	448600	36121.3	SI (448600/36121.3 = 12.42 >= 1.0)
7-5	2.30	1.63		280173.92	455755.6	36111.3	SI (455755.6/36111.3 = 12.62 >= 1.0)
7-6	2.30	1.63		280174.18	455755.9	36111.3	SI (455755.9/36111.3 = 12.62 >= 1.0)
7-7	2.30	1.63		275382.73	448592	36120.3	SI (448592/36120.3 = 12.42 >= 1.0)
7-8	2.30	1.63		275382.97	448592.3	36120.3	SI (448592.3/36120.3 = 12.42 >= 1.0)
7-9	2.30	1.36		221510.94	300912.4	36095.3	SI (300912.4/36095.3 = 8.34 >= 1.0)
7-10	2.30	1.36		221511.13	300912.6	36095.3	SI (300912.6/36095.3 = 8.34 >= 1.0)
7-11	2.30	1.36		217745.64	296161.8	36105.3	SI (296161.8/36105.3 = 8.20 >= 1.0)
7-12	2.30	1.36		217745.82	296161.9	36105.3	SI (296161.9/36105.3 = 8.20 >= 1.0)
7-13	2.30	1.36		221508.1	300909.5	36095.3	SI (300909.5/36095.3 = 8.34 >= 1.0)
7-14	2.30	1.36		221508.28	300909.7	36095.3	SI (300909.7/36095.3 = 8.34 >= 1.0)
7-15	2.30	1.36		217740.7	296153.2	36104.3	SI (296153.2/36104.3 = 8.20 >= 1.0)
7-16	2.30	1.36		217740.88	296153.4	36104.3	SI (296153.4/36104.3 = 8.20 >= 1.0)

6.5.3. Scorrimento.

Le seguenti tabelle elencano il valore dell'angolo di resistenza al taglio, della coesione efficace, dell'attrito e dell'aderenza fondazione-terreno, e della resistenza disponibile sul piano di posa e sulle pareti laterali.

Caso	γ_ϕ	γ_c'	$\phi [^\circ]$	$c' [\text{daN}/\text{cm}^2]$	$\delta [^\circ]$	$a [\text{daN}/\text{cm}^2]$	$\gamma_{R,h}$	$\gamma_{R,e}$	$R_h [\text{daN}]$	$R_e [\text{daN}]$		
1-1	1.00	1.00	28	0		21	0		1.10	1.00	18904.93	0
2-1	1.00	1.00	28	0		21	0		1.10	1.00	18904.93	0
3-1	1.00	1.00	28	0		21	0		1.10	1.00	18908.42	1999.79
3-2	1.00	1.00	28	0		21	0		1.10	1.00	18901.79	1999.79
4-1	1.00	1.00	28	0		21	0		1.10	1.00	12596.06	1067.43
4-2	1.00	1.00	28	0		21	0		1.10	1.00	12596.06	1067.43
4-3	1.00	1.00	28	0		21	0		1.10	1.00	12594.67	1067.43
4-4	1.00	1.00	28	0		21	0		1.10	1.00	12594.67	1067.43
4-5	1.00	1.00	28	0		21	0		1.10	1.00	12596.06	1067.43
4-6	1.00	1.00	28	0		21	0		1.10	1.00	12596.06	1067.43
4-7	1.00	1.00	28	0		21	0		1.10	1.00	12594.67	1067.43
4-8	1.00	1.00	28	0		21	0		1.10	1.00	12594.67	1067.43
4-9	1.00	1.00	28	0		21	0		1.10	1.00	12606.53	1067.43
4-10	1.00	1.00	28	0		21	0		1.10	1.00	12606.53	1067.43
4-11	1.00	1.00	28	0		21	0		1.10	1.00	12604.79	1067.43
4-12	1.00	1.00	28	0		21	0		1.10	1.00	12604.79	1067.43
4-13	1.00	1.00	28	0		21	0		1.10	1.00	12606.53	1067.43
4-14	1.00	1.00	28	0		21	0		1.10	1.00	12606.53	1067.43
4-15	1.00	1.00	28	0		21	0		1.10	1.00	12604.79	1067.43
4-16	1.00	1.00	28	0		21	0		1.10	1.00	12604.79	1067.43
5-1	1.00	1.00	28	0		21	0		1.10	1.00	12601.65	2060.61



5-2	1.00	1.00	28	0	21	0	1.10	1.00	12601.65	2060.61
5-3	1.00	1.00	28	0	21	0	1.10	1.00	12604.79	2060.61
5-4	1.00	1.00	28	0	21	0	1.10	1.00	12604.79	2060.61
5-5	1.00	1.00	28	0	21	0	1.10	1.00	12601.3	2060.61
5-6	1.00	1.00	28	0	21	0	1.10	1.00	12601.3	2060.61
5-7	1.00	1.00	28	0	21	0	1.10	1.00	12604.44	2060.61
5-8	1.00	1.00	28	0	21	0	1.10	1.00	12604.44	2060.61
5-9	1.00	1.00	28	0	21	0	1.10	1.00	12596.41	2060.61
5-10	1.00	1.00	28	0	21	0	1.10	1.00	12596.41	2060.61
5-11	1.00	1.00	28	0	21	0	1.10	1.00	12599.55	2060.61
5-12	1.00	1.00	28	0	21	0	1.10	1.00	12599.55	2060.61
5-13	1.00	1.00	28	0	21	0	1.10	1.00	12596.41	2060.61
5-14	1.00	1.00	28	0	21	0	1.10	1.00	12596.41	2060.61
5-15	1.00	1.00	28	0	21	0	1.10	1.00	12599.55	2060.61
5-16	1.00	1.00	28	0	21	0	1.10	1.00	12599.55	2060.61
6-1	1.00	1.00	28	0	21	0	1.10	1.00	12595.71	1067.43
6-2	1.00	1.00	28	0	21	0	1.10	1.00	12595.71	1067.43
6-3	1.00	1.00	28	0	21	0	1.10	1.00	12593.97	1067.43
6-4	1.00	1.00	28	0	21	0	1.10	1.00	12593.97	1067.43
6-5	1.00	1.00	28	0	21	0	1.10	1.00	12595.71	1067.43
6-6	1.00	1.00	28	0	21	0	1.10	1.00	12595.71	1067.43
6-7	1.00	1.00	28	0	21	0	1.10	1.00	12593.97	1067.43
6-8	1.00	1.00	28	0	21	0	1.10	1.00	12593.97	1067.43
6-9	1.00	1.00	28	0	21	0	1.10	1.00	12606.88	1067.43
6-10	1.00	1.00	28	0	21	0	1.10	1.00	12606.88	1067.43
6-11	1.00	1.00	28	0	21	0	1.10	1.00	12605.49	1067.43
6-12	1.00	1.00	28	0	21	0	1.10	1.00	12605.14	1067.43
6-13	1.00	1.00	28	0	21	0	1.10	1.00	12606.88	1067.43
6-14	1.00	1.00	28	0	21	0	1.10	1.00	12606.88	1067.43
6-15	1.00	1.00	28	0	21	0	1.10	1.00	12605.49	1067.43
6-16	1.00	1.00	28	0	21	0	1.10	1.00	12605.49	1067.43
7-1	1.00	1.00	28	0	21	0	1.10	1.00	12601.65	2060.61
7-2	1.00	1.00	28	0	21	0	1.10	1.00	12601.65	2060.61
7-3	1.00	1.00	28	0	21	0	1.10	1.00	12605.14	2060.61
7-4	1.00	1.00	28	0	21	0	1.10	1.00	12605.14	2060.61
7-5	1.00	1.00	28	0	21	0	1.10	1.00	12601.65	2060.61
7-6	1.00	1.00	28	0	21	0	1.10	1.00	12601.65	2060.61
7-7	1.00	1.00	28	0	21	0	1.10	1.00	12604.79	2060.61
7-8	1.00	1.00	28	0	21	0	1.10	1.00	12604.79	2060.61
7-9	1.00	1.00	28	0	21	0	1.10	1.00	12596.06	2060.61
7-10	1.00	1.00	28	0	21	0	1.10	1.00	12596.06	2060.61
7-11	1.00	1.00	28	0	21	0	1.10	1.00	12599.55	2060.61
7-12	1.00	1.00	28	0	21	0	1.10	1.00	12599.55	2060.61
7-13	1.00	1.00	28	0	21	0	1.10	1.00	12596.06	2060.61
7-14	1.00	1.00	28	0	21	0	1.10	1.00	12596.06	2060.61



7-15	1.00	1.00	28	0		21	0		1.10	1.00	12599.2	2060.61
7-16	1.00	1.00	28	0		21	0		1.10	1.00	12599.2	2060.61

Segue il confronto fra la resistenza a scorrimento e l'azione applicata.

Caso	R _d [daN]	E _d [daN]	Verifica
1-1	18904.9	0	SI (18904.9/0 = 1.00 >= 1.0)
2-1	18904.9	0	SI (18904.9/0 = 1.00 >= 1.0)
3-1	20908.2	1745.4	SI (20908.2/1745.4 = 11.98 >= 1.0)
3-2	20901.6	1745.4	SI (20901.6/1745.4 = 11.98 >= 1.0)
4-1	13663.5	1464.3	SI (13663.5/1464.3 = 9.33 >= 1.0)
4-2	13663.5	1464.3	SI (13663.5/1464.3 = 9.33 >= 1.0)
4-3	13662.1	1464.3	SI (13662.1/1464.3 = 9.33 >= 1.0)
4-4	13662.1	1464.3	SI (13662.1/1464.3 = 9.33 >= 1.0)
4-5	13663.5	1464.3	SI (13663.5/1464.3 = 9.33 >= 1.0)
4-6	13663.5	1464.3	SI (13663.5/1464.3 = 9.33 >= 1.0)
4-7	13662.1	1464.3	SI (13662.1/1464.3 = 9.33 >= 1.0)
4-8	13662.1	1464.3	SI (13662.1/1464.3 = 9.33 >= 1.0)
4-9	13674	1464.3	SI (13674/1464.3 = 9.34 >= 1.0)
4-10	13674	1464.3	SI (13674/1464.3 = 9.34 >= 1.0)
4-11	13672.2	1464.3	SI (13672.2/1464.3 = 9.34 >= 1.0)
4-12	13672.2	1464.3	SI (13672.2/1464.3 = 9.34 >= 1.0)
4-13	13674	1464.3	SI (13674/1464.3 = 9.34 >= 1.0)
4-14	13674	1464.3	SI (13674/1464.3 = 9.34 >= 1.0)
4-15	13672.2	1464.3	SI (13672.2/1464.3 = 9.34 >= 1.0)
4-16	13672.2	1464.3	SI (13672.2/1464.3 = 9.34 >= 1.0)
5-1	14662.3	1491.1	SI (14662.3/1491.1 = 9.83 >= 1.0)
5-2	14662.3	1491.1	SI (14662.3/1491.1 = 9.83 >= 1.0)
5-3	14665.4	1491.1	SI (14665.4/1491.1 = 9.84 >= 1.0)
5-4	14665.4	1491.1	SI (14665.4/1491.1 = 9.84 >= 1.0)
5-5	14661.9	1491.1	SI (14661.9/1491.1 = 9.83 >= 1.0)
5-6	14661.9	1491.1	SI (14661.9/1491.1 = 9.83 >= 1.0)
5-7	14665	1491.1	SI (14665/1491.1 = 9.84 >= 1.0)
5-8	14665	1491.1	SI (14665/1491.1 = 9.84 >= 1.0)
5-9	14657	1491.1	SI (14657/1491.1 = 9.83 >= 1.0)
5-10	14657	1491.1	SI (14657/1491.1 = 9.83 >= 1.0)
5-11	14660.2	1491.1	SI (14660.2/1491.1 = 9.83 >= 1.0)
5-12	14660.2	1491.1	SI (14660.2/1491.1 = 9.83 >= 1.0)
5-13	14657	1491.1	SI (14657/1491.1 = 9.83 >= 1.0)
5-14	14657	1491.1	SI (14657/1491.1 = 9.83 >= 1.0)
5-15	14660.2	1491.1	SI (14660.2/1491.1 = 9.83 >= 1.0)
5-16	14660.2	1491.1	SI (14660.2/1491.1 = 9.83 >= 1.0)
6-1	13663.1	1610.8	SI (13663.1/1610.8 = 8.48 >= 1.0)
6-2	13663.1	1610.8	SI (13663.1/1610.8 = 8.48 >= 1.0)
6-3	13661.4	1610.8	SI (13661.4/1610.8 = 8.48 >= 1.0)
6-4	13661.4	1610.8	SI (13661.4/1610.8 = 8.48 >= 1.0)
6-5	13663.1	1610.8	SI (13663.1/1610.8 = 8.48 >= 1.0)



6-6	13663.1	1610.8	SI (13663.1/1610.8 = 8.48 >= 1.0)
6-7	13661.4	1610.8	SI (13661.4/1610.8 = 8.48 >= 1.0)
6-8	13661.4	1610.8	SI (13661.4/1610.8 = 8.48 >= 1.0)
6-9	13674.3	1610.8	SI (13674.3/1610.8 = 8.49 >= 1.0)
6-10	13674.3	1610.8	SI (13674.3/1610.8 = 8.49 >= 1.0)
6-11	13672.9	1610.8	SI (13672.9/1610.8 = 8.49 >= 1.0)
6-12	13672.6	1610.8	SI (13672.6/1610.8 = 8.49 >= 1.0)
6-13	13674.3	1610.8	SI (13674.3/1610.8 = 8.49 >= 1.0)
6-14	13674.3	1610.8	SI (13674.3/1610.8 = 8.49 >= 1.0)
6-15	13672.9	1610.8	SI (13672.9/1610.8 = 8.49 >= 1.0)
6-16	13672.9	1610.8	SI (13672.9/1610.8 = 8.49 >= 1.0)
7-1	14662.3	1640.2	SI (14662.3/1640.2 = 8.94 >= 1.0)
7-2	14662.3	1640.2	SI (14662.3/1640.2 = 8.94 >= 1.0)
7-3	14665.7	1640.2	SI (14665.7/1640.2 = 8.94 >= 1.0)
7-4	14665.7	1640.2	SI (14665.7/1640.2 = 8.94 >= 1.0)
7-5	14662.3	1640.2	SI (14662.3/1640.2 = 8.94 >= 1.0)
7-6	14662.3	1640.2	SI (14662.3/1640.2 = 8.94 >= 1.0)
7-7	14665.4	1640.2	SI (14665.4/1640.2 = 8.94 >= 1.0)
7-8	14665.4	1640.2	SI (14665.4/1640.2 = 8.94 >= 1.0)
7-9	14656.7	1640.2	SI (14656.7/1640.2 = 8.94 >= 1.0)
7-10	14656.7	1640.2	SI (14656.7/1640.2 = 8.94 >= 1.0)
7-11	14660.2	1640.2	SI (14660.2/1640.2 = 8.94 >= 1.0)
7-12	14660.2	1640.2	SI (14660.2/1640.2 = 8.94 >= 1.0)
7-13	14656.7	1640.2	SI (14656.7/1640.2 = 8.94 >= 1.0)
7-14	14656.7	1640.2	SI (14656.7/1640.2 = 8.94 >= 1.0)
7-15	14659.8	1640.2	SI (14659.8/1640.2 = 8.94 >= 1.0)
7-16	14659.8	1640.2	SI (14659.8/1640.2 = 8.94 >= 1.0)